





# Soudage par résistance du gainage combustible en acier ODS

# Identification des phénomènes physiques en vue d'une optimisation

Fabien Corpace<sup>a,b</sup>, Arnaud Monnier<sup>a</sup>, Jean-Pierre Manaud<sup>b</sup>, Angéline Poulon Quintin<sup>b</sup>

<sup>a</sup> CEA, DEN, DM2S, SEMT, LTA, F-91191 Gif-sur-Yvette, France
<sup>b</sup> CNRS, Université Bordeaux 1, ICMCB, UPR9048, 33608 PESSAC Cedex, France

Action tripartite: CEA, EDF, AREVA NP

## Contexte – Gainages combustibles en acier ODS

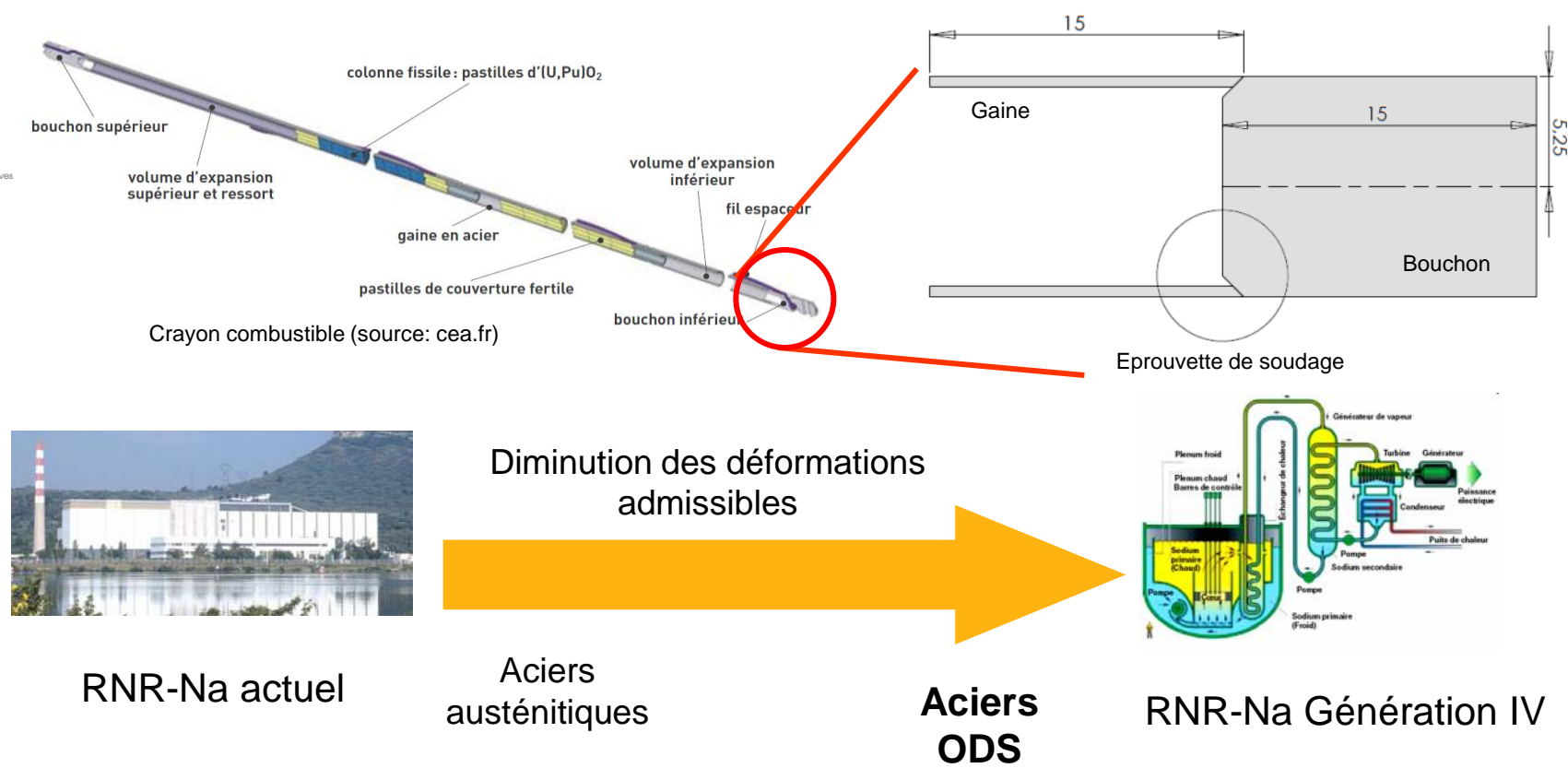








Le gainage combustible est le premier confinement du combustible



- Aciers inoxydables ODS (Oxide Dispersion Strengthened): renforcement par dispersion d'oxydes nanométriques
  - Meilleure tenue mécanique à haute température assurée par la dispersion d'oxydes nanométriques (Température de fonctionnement nominale des RNR-Na GenIV: 500 - 650°C)

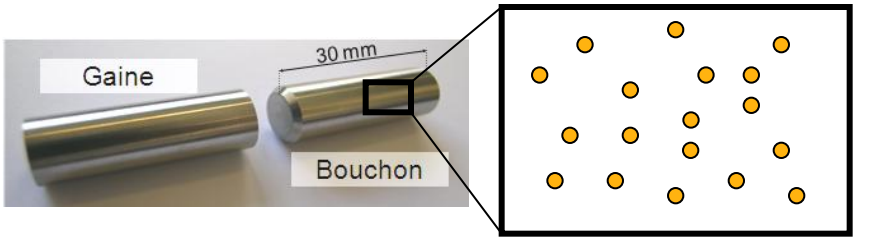
## Contexte – Le soudage des aciers ODS

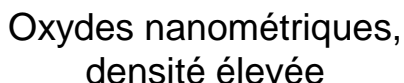






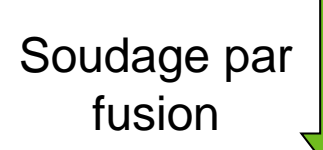


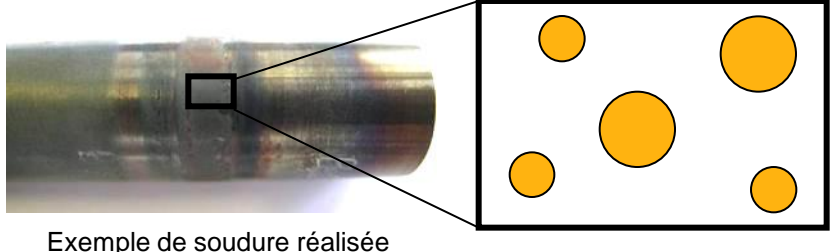






Bonnes propriétés mécaniques à haute température





Modification de la taille des oxydes, faible densité



Dégradation des propriétés mécaniques à haute température et de la durée de vie

Regroupement des oxydes lors de la fusion des aciers ODS

Diminution des propriétés mécaniques

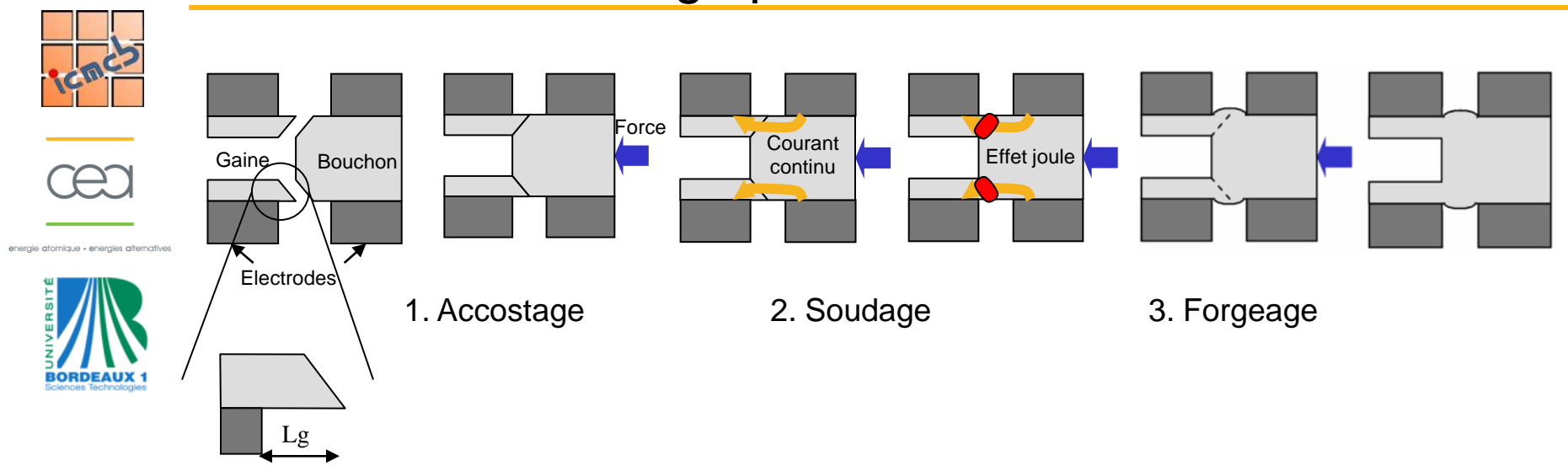
par le procédé TIG

Procédé de soudage par fusion complexe à mettre en œuvre

Soudage en phase solide

Soudage par résistance

## Contexte - Le soudage par résistance en bout



- Paramètres opératoires principaux du soudage par résistance en bout (F<sub>s</sub>, I<sub>s</sub>, t<sub>s.</sub> L<sub>g</sub>)
  - Force (F<sub>s</sub>): Force appliquée en cours de soudage
  - Courant (I<sub>s</sub>): Intensité du courant traversant les pièces
  - Temps (t<sub>s</sub>): Temps d'application du courant
  - Longueur de gaine dépassant de l'électrodes (L<sub>a</sub>)
- Forgeage des pièces chauffées par effet Joule

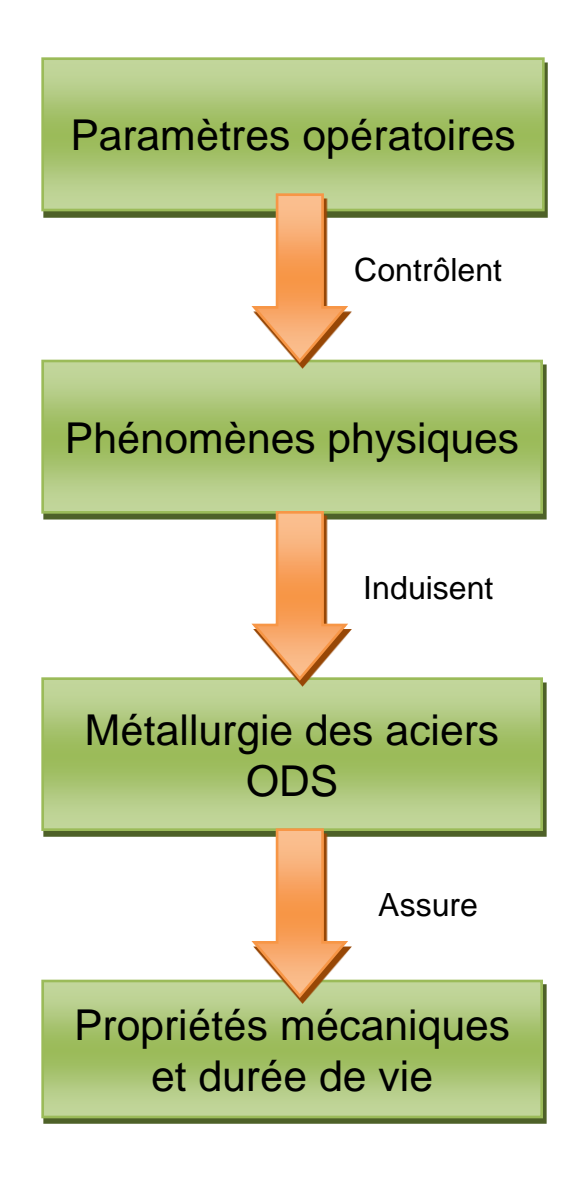


Soudage en phase solide





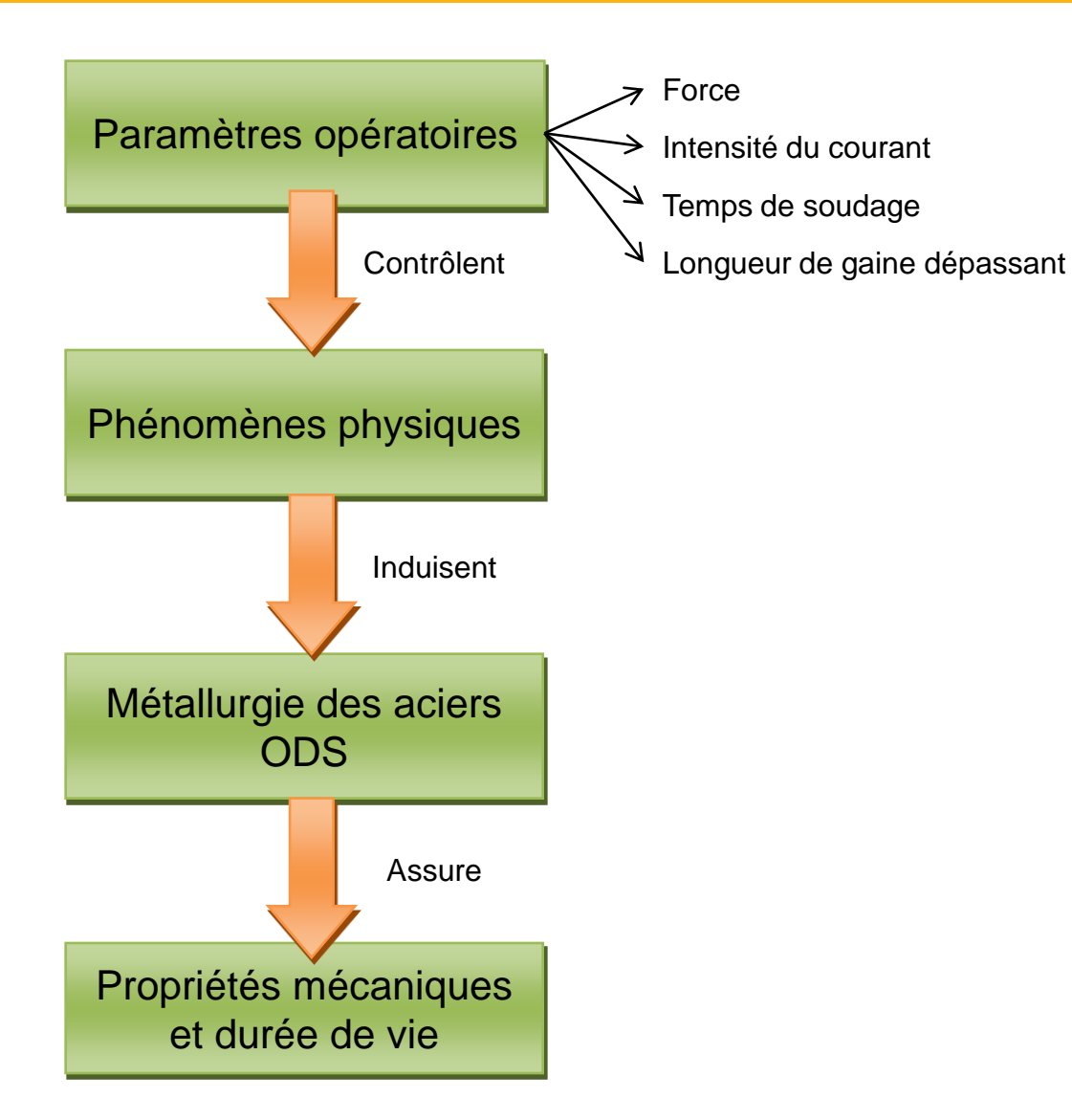










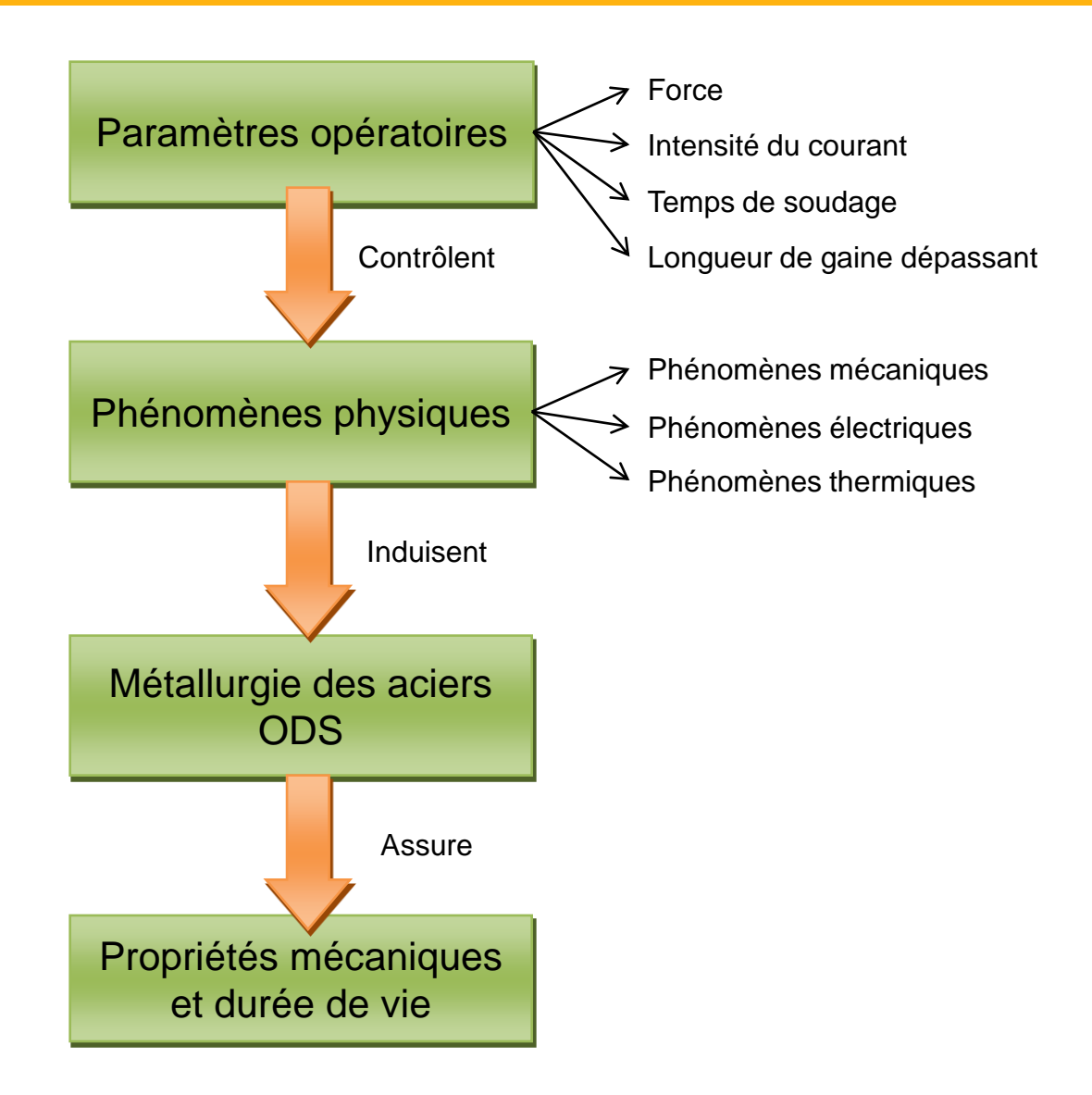






nergie atomique • energies alternative



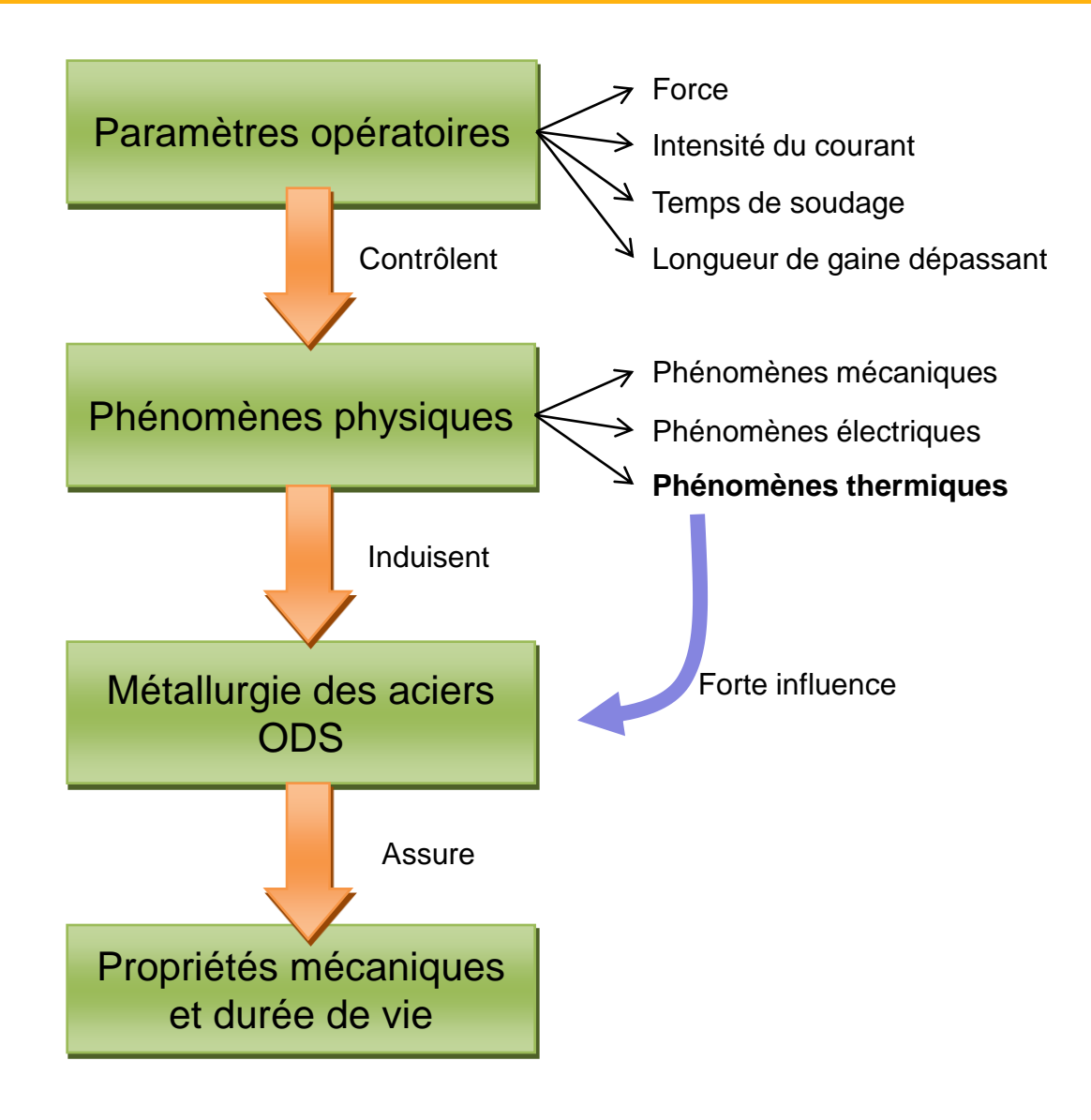










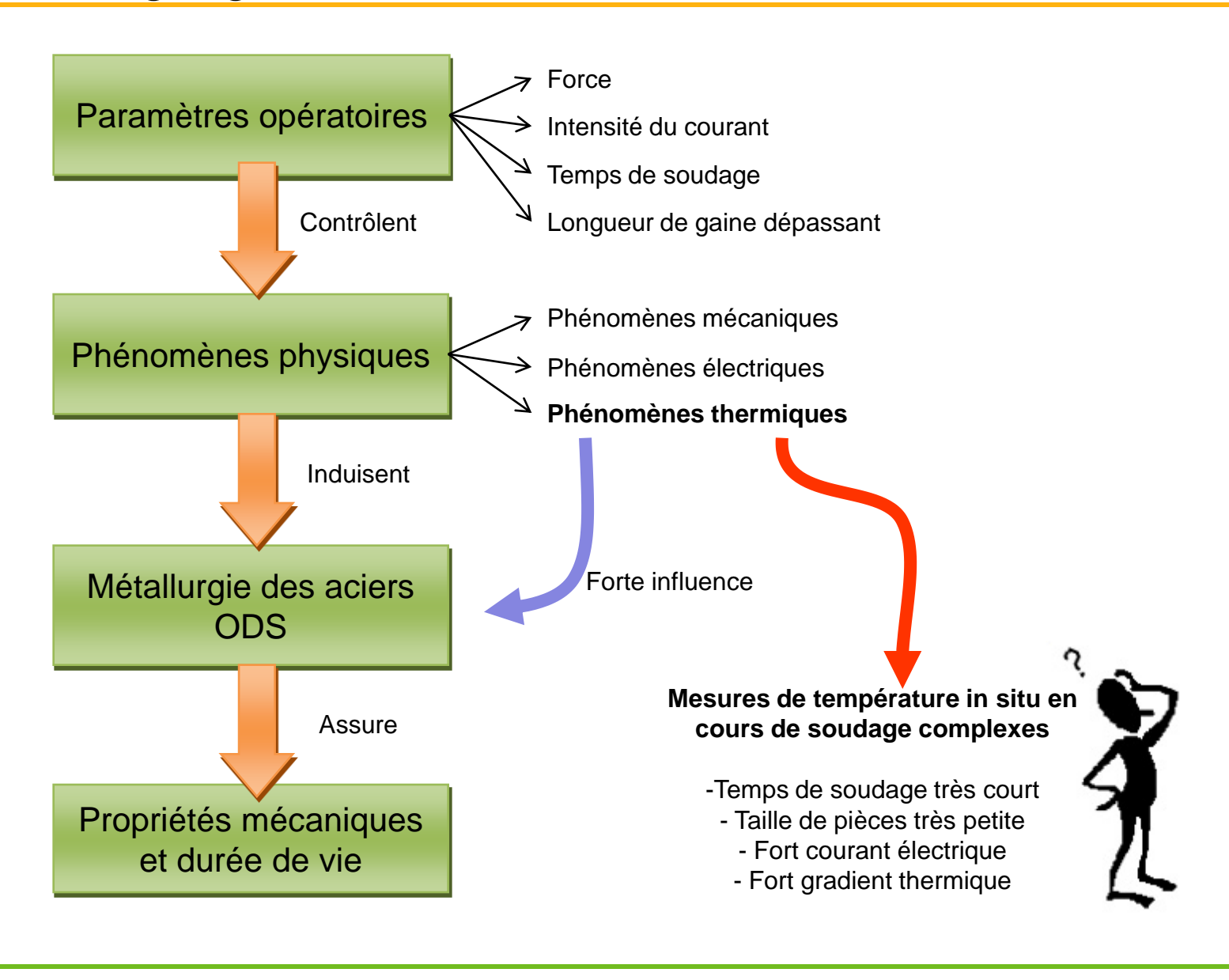










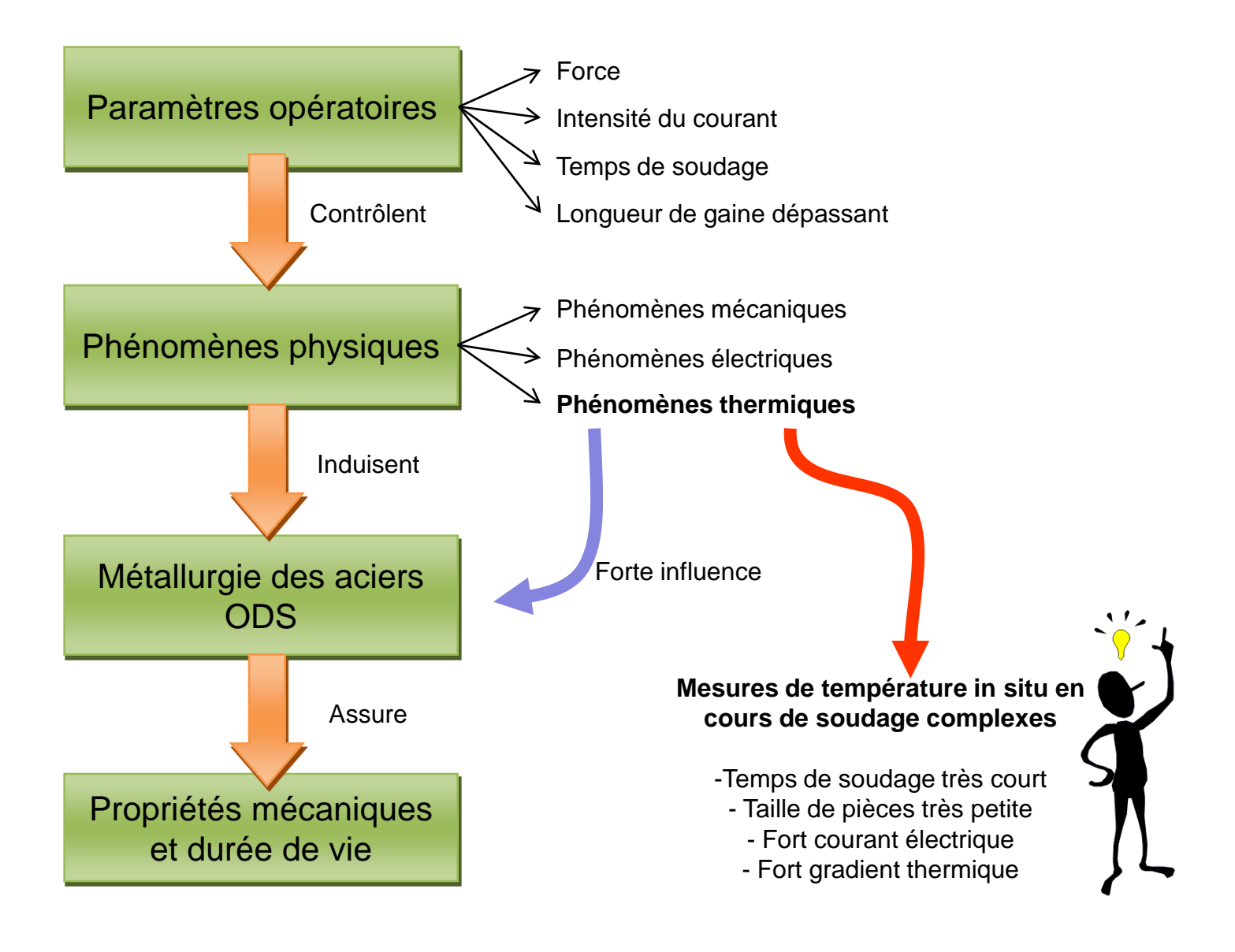


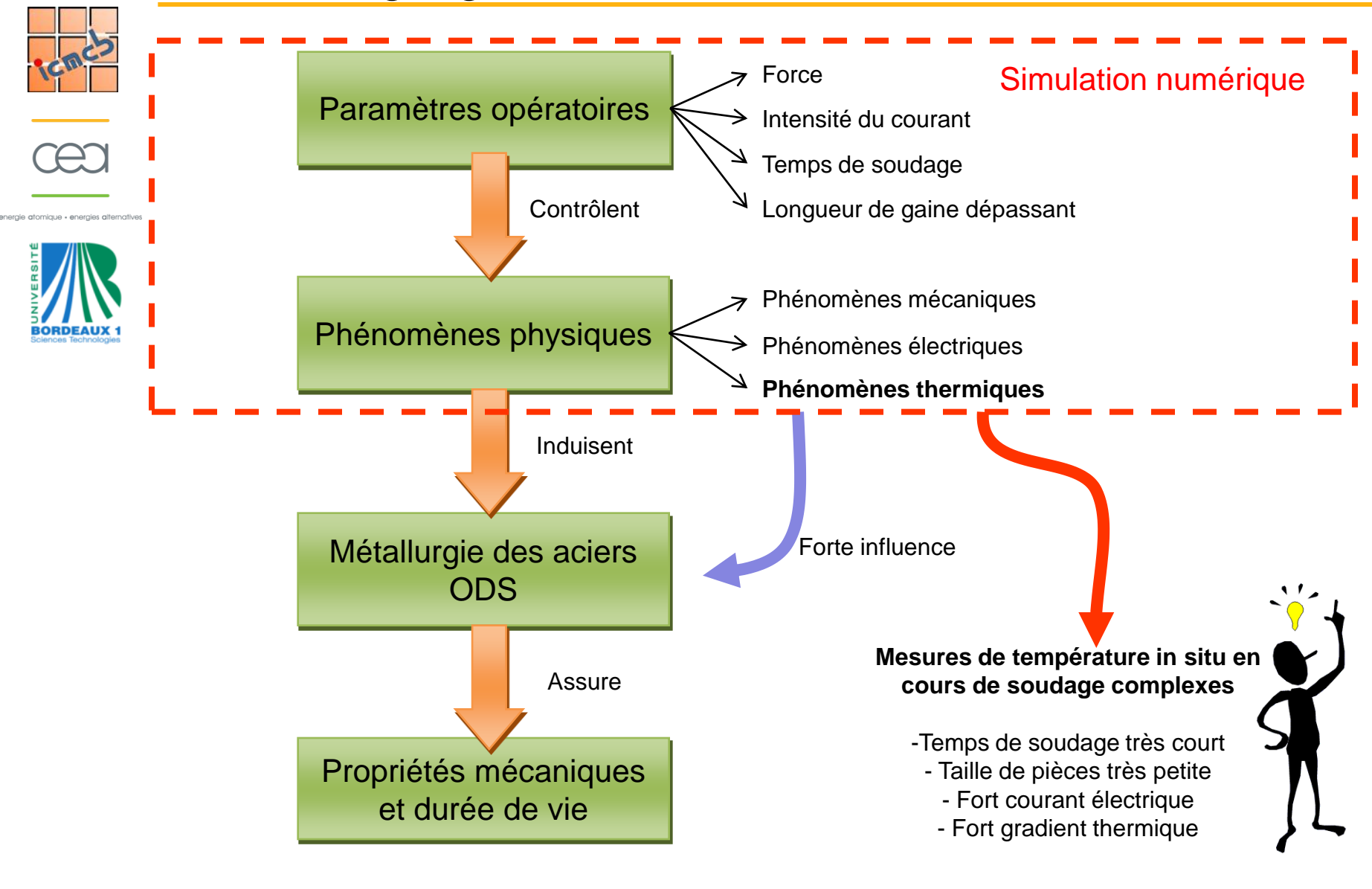




nergie atomique • energies alternatives





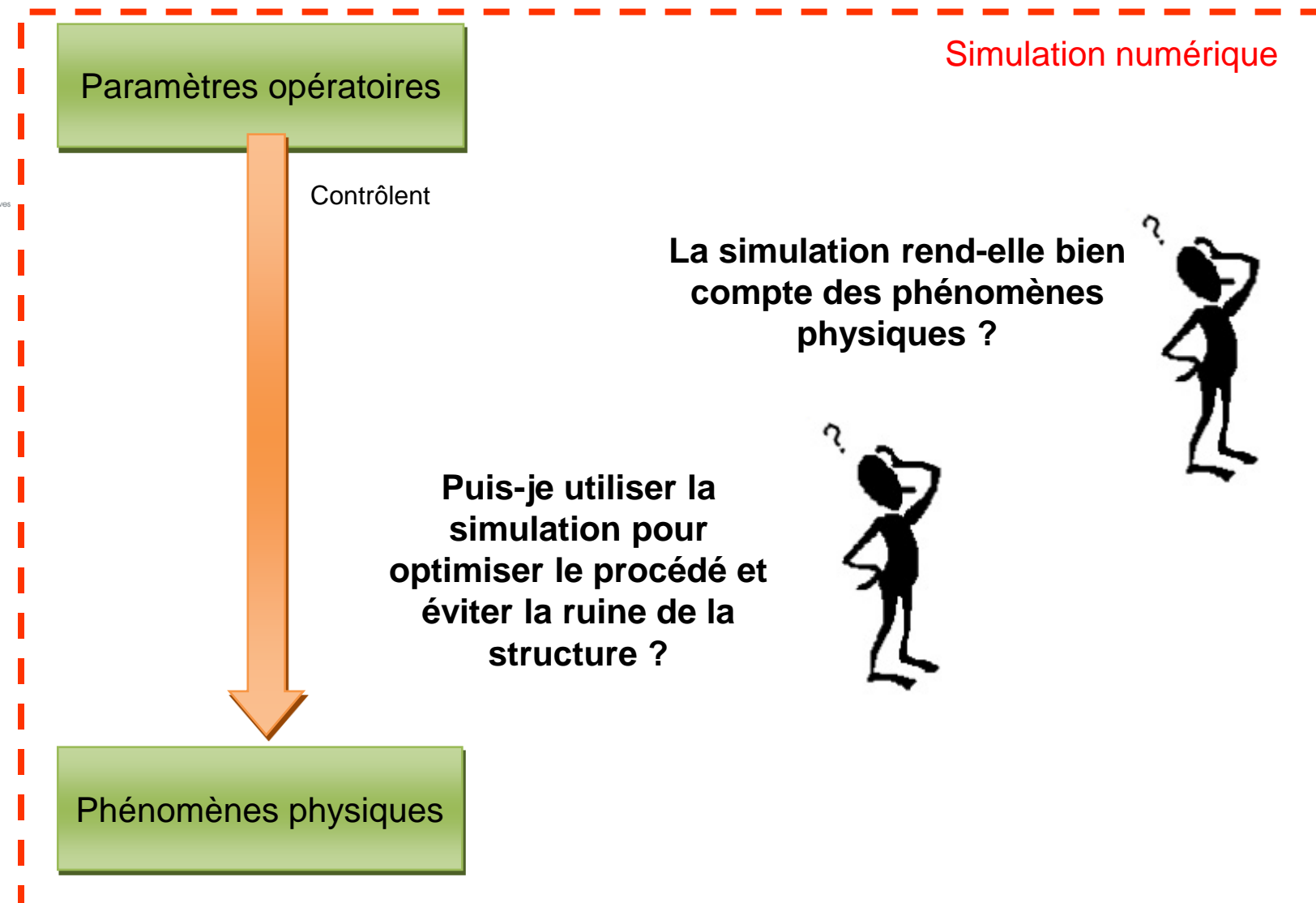










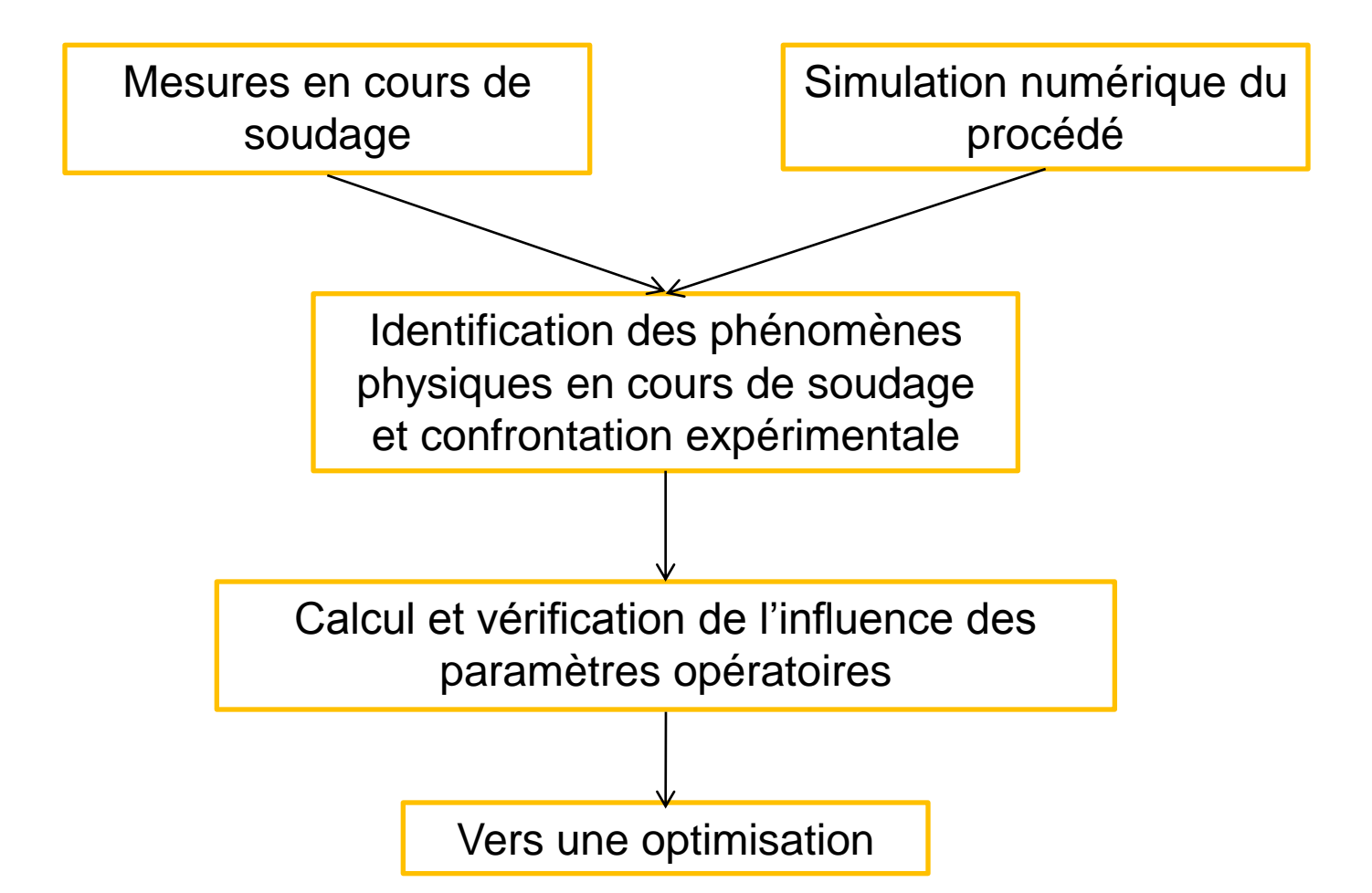


#### Plan







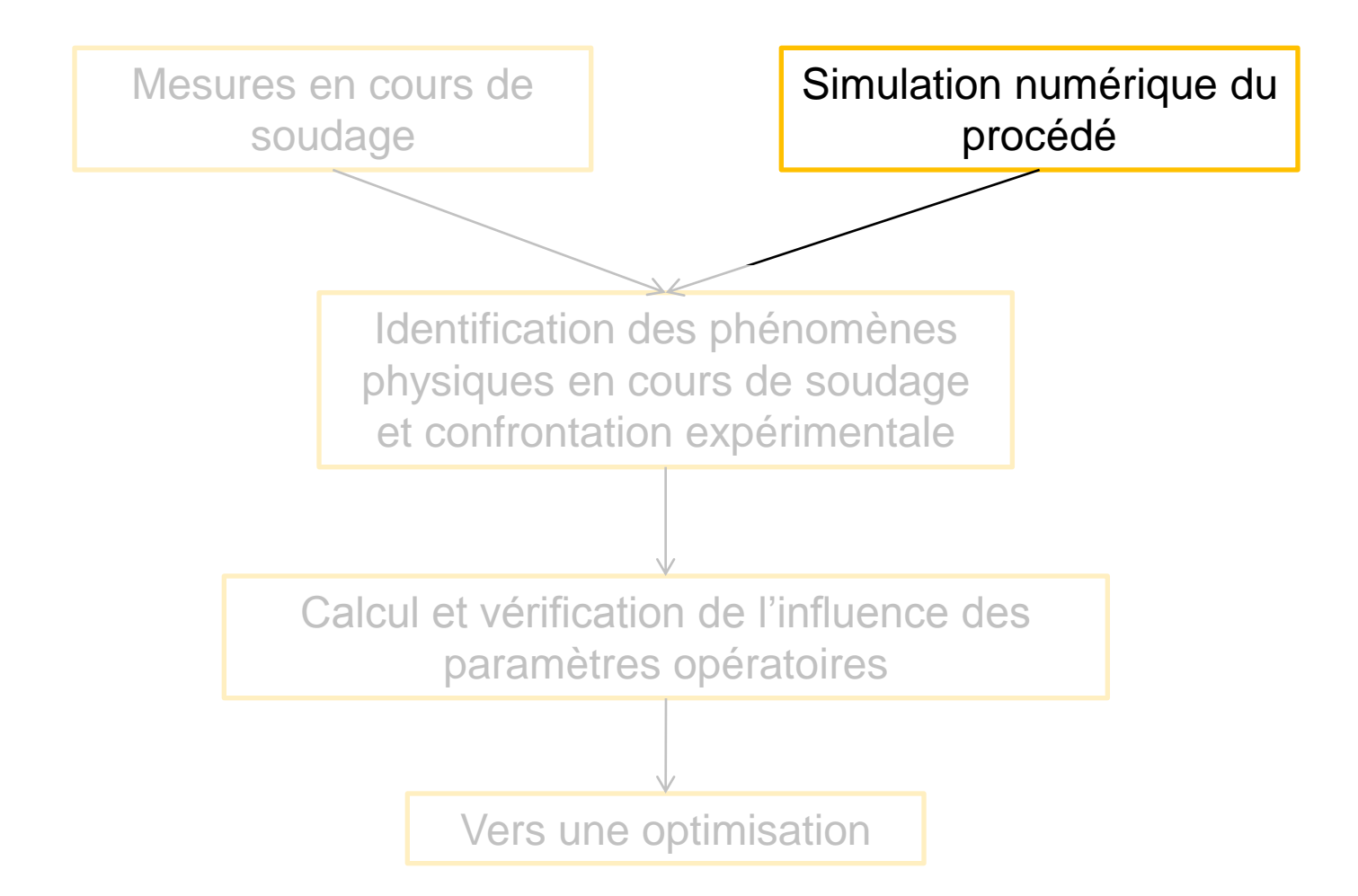


#### Plan









## Simulation numérique - Méthodes et objectifs









Simulation numérique réalisée avec SYSWELD (ESI)

#### Objectif:

 Donner accès à des informations fiables sur l'influence des paramètres opératoires sur les phénomènes physiques en cours de soudage

#### Contrainte:

 Développer une simulation numérique robuste afin de pouvoir réaliser des simulations sur l'ensemble de la plage de soudabilité opératoire étudiée

|                | Facteur                                    | Minimum | Maximum |  |
|----------------|--|---------|---------|--|
| F <sub>s</sub> | Force                                      | 1800 N  | 2200 N  |  |
| Is             | Intensité du courant                       | 14 kA   | 18 kA   |  |
| t              | Temps de soudage                           | 10 ms   | 15 ms   |  |
| Lg             | Longueur de gaine dépassant de l'électrode | 0,2 mm  | 0,8 mm  |  |

Plage de soudabilité opératoire étudiée

## Simulation numérique - Phénomènes physiques

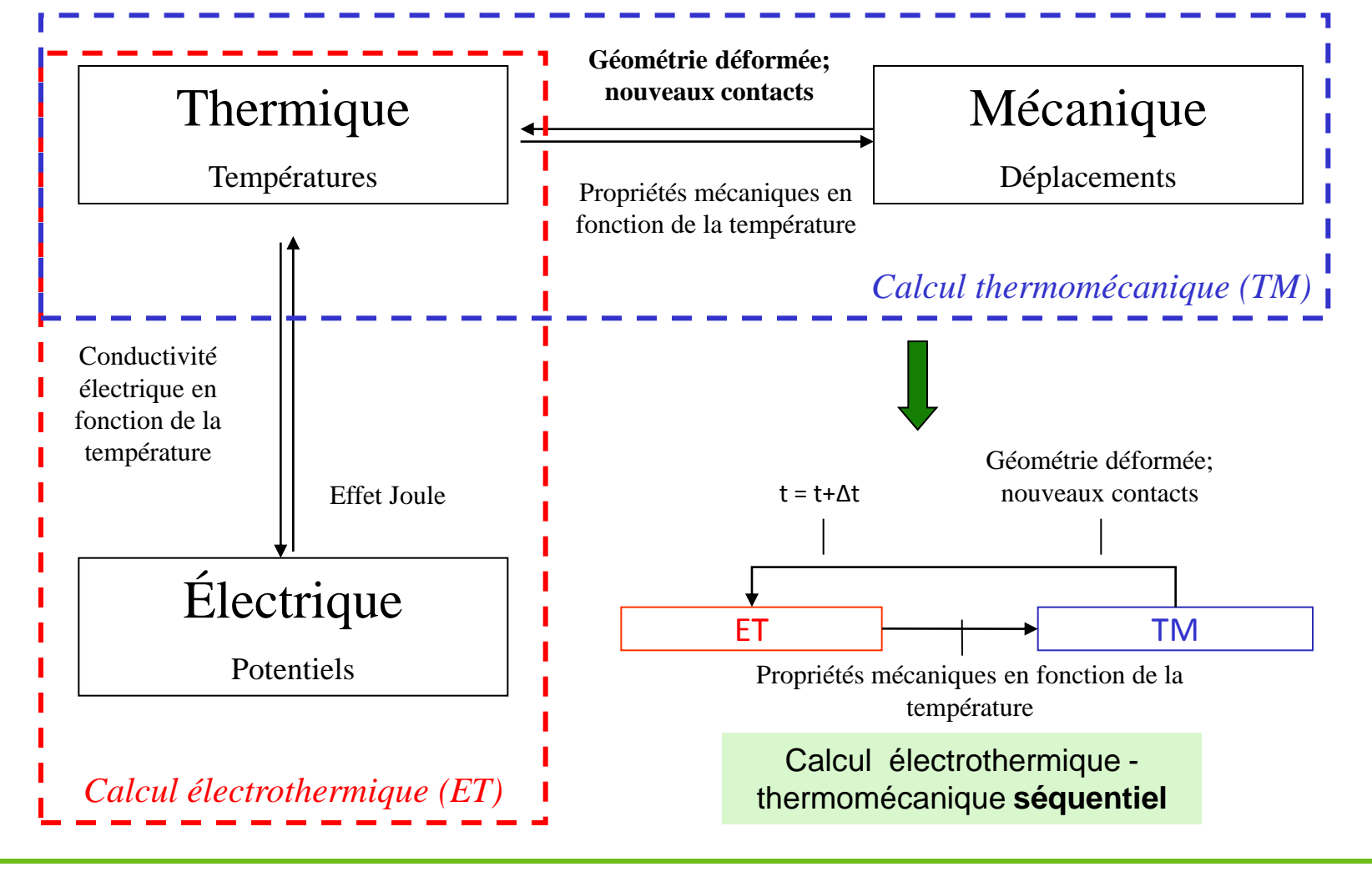


• Phénomènes simulés pour le soudage par résistance (représentation simplifiée)



energie atomique + energies alternative





## Simulation numérique - Conditions aux limites, chargements

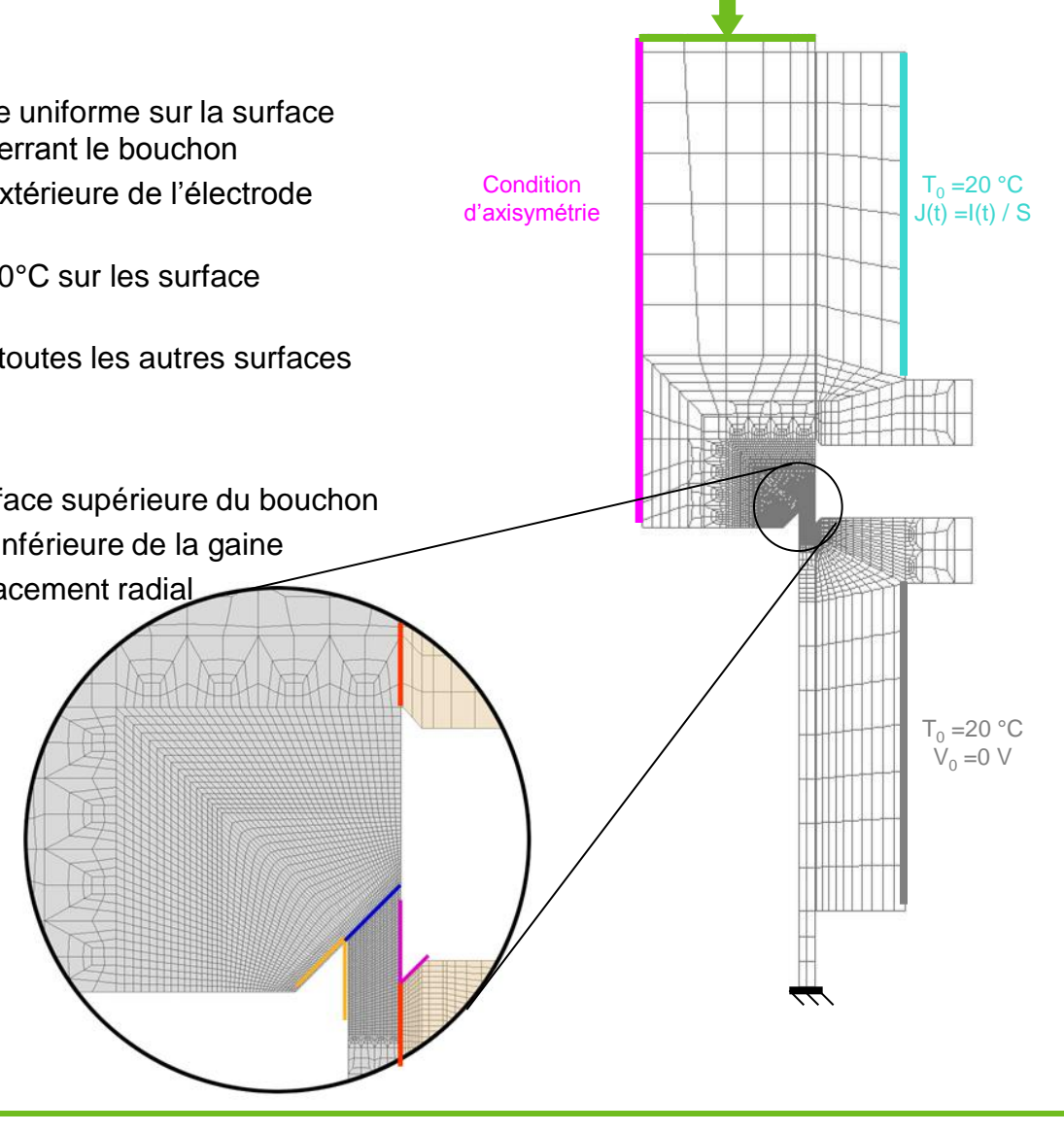




nergie atomique • energies alternativ



- Modèle 2D axisymétrique
- Modèle électrothermique (ET)
  - Densité de courant électrique uniforme sur la surface extérieure de l'électrode enserrant le bouchon
  - Potentiel nul sur la surface extérieure de l'électrode enserrant la gaine
  - Température constante de 20°C sur les surface extérieurs des électrodes
    - Conditions adiabatiques sur toutes les autres surfaces
- Modèle thermomécanique (TM)
  - Pression uniforme sur la surface supérieure du bouchon
  - Encastrement de la surface inférieure de la gaine
  - ☐ Électrodes bloquées en déplacement radial
- Contacts ETM
  - Entre pièces
    - Préexistants
    - Formés en cours de soudage
  - Entre pièces et mors
    - Préexistants
    - Formés en cours de soudage



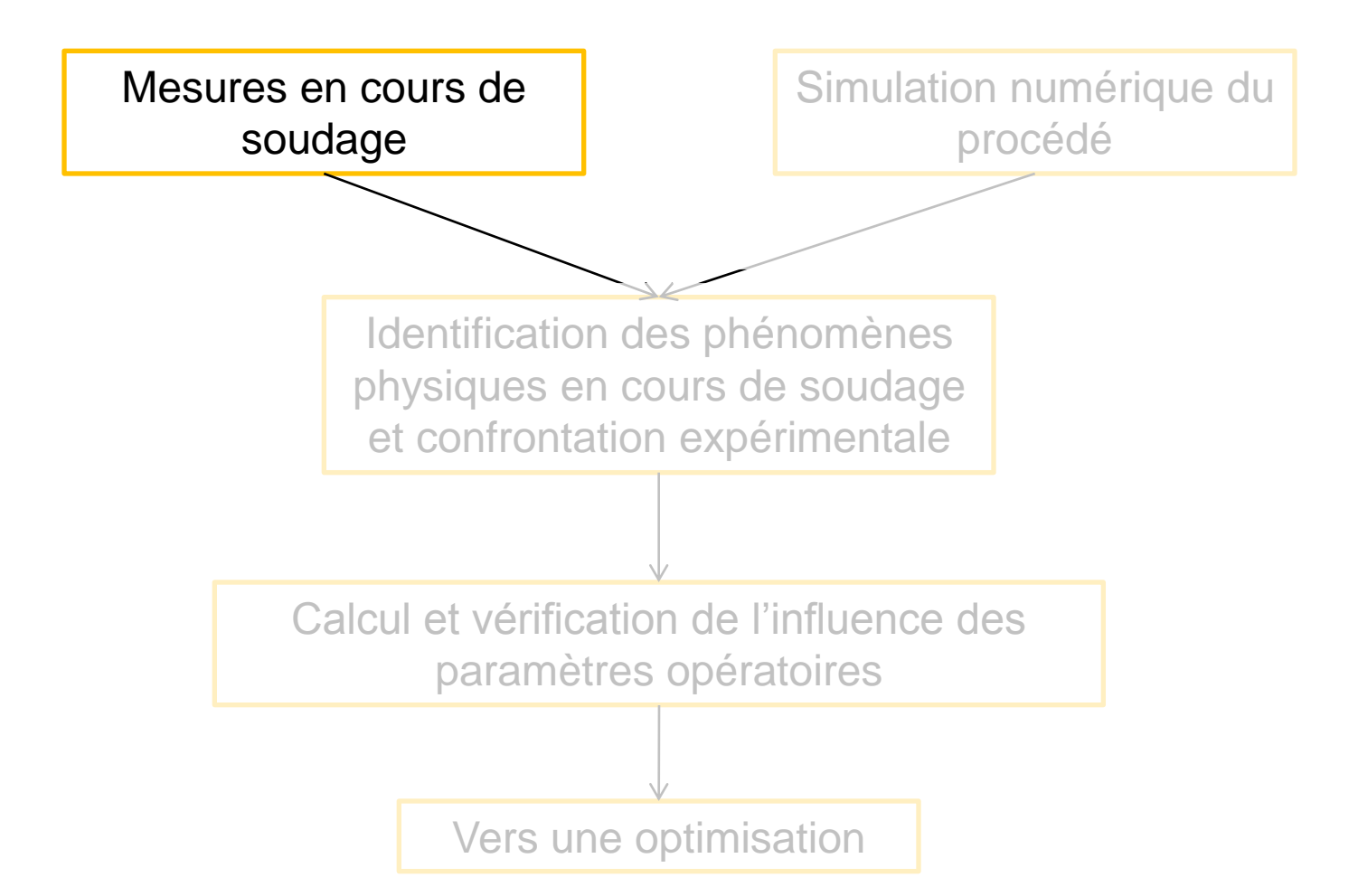
Pression uniforme

#### Plan









#### Mesures en cours de soudage

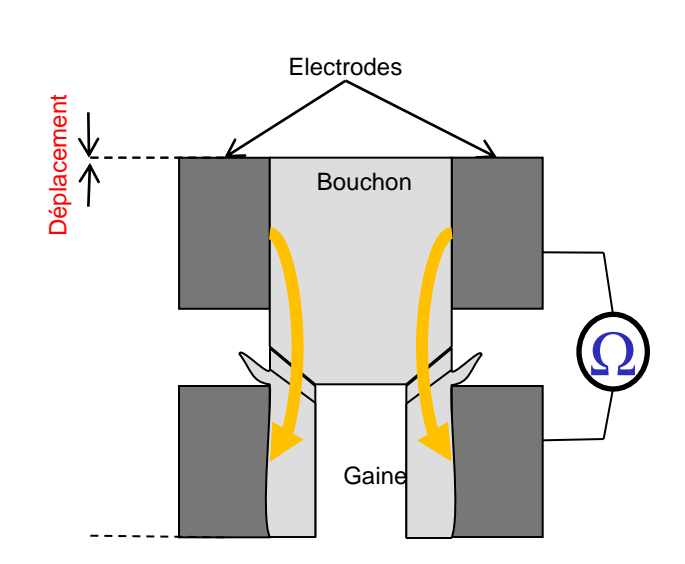


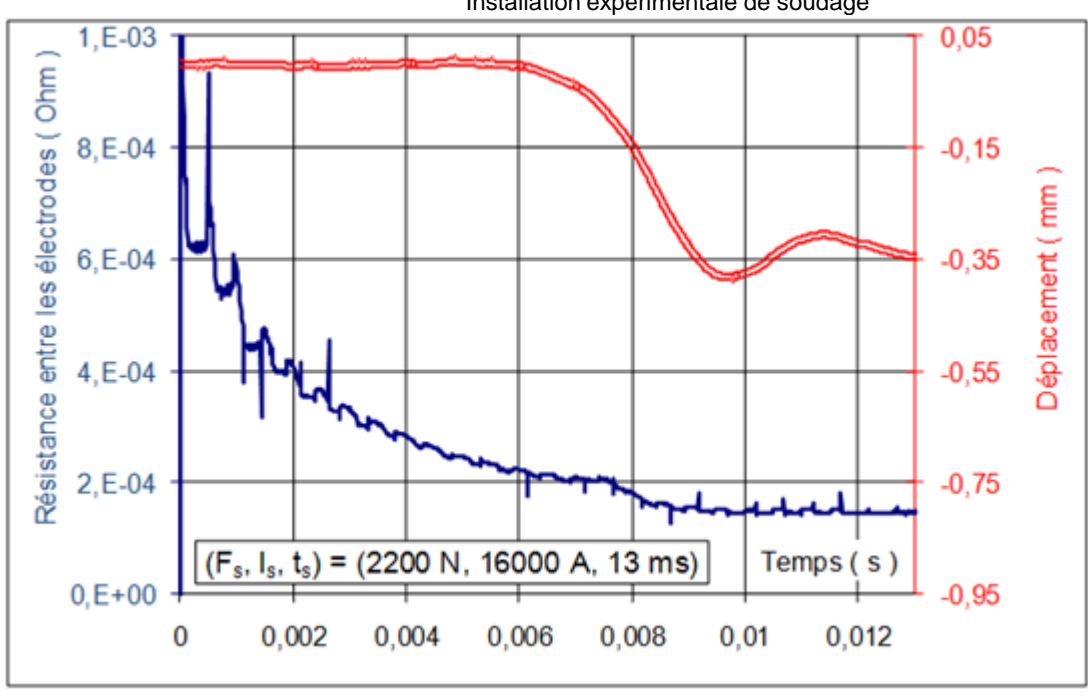




- Essais réalisés sur une installation. expérimentale spécifique
- Instrumentation à haute fréquence d'échantillonnage
- Résistance électrique
- Déplacement







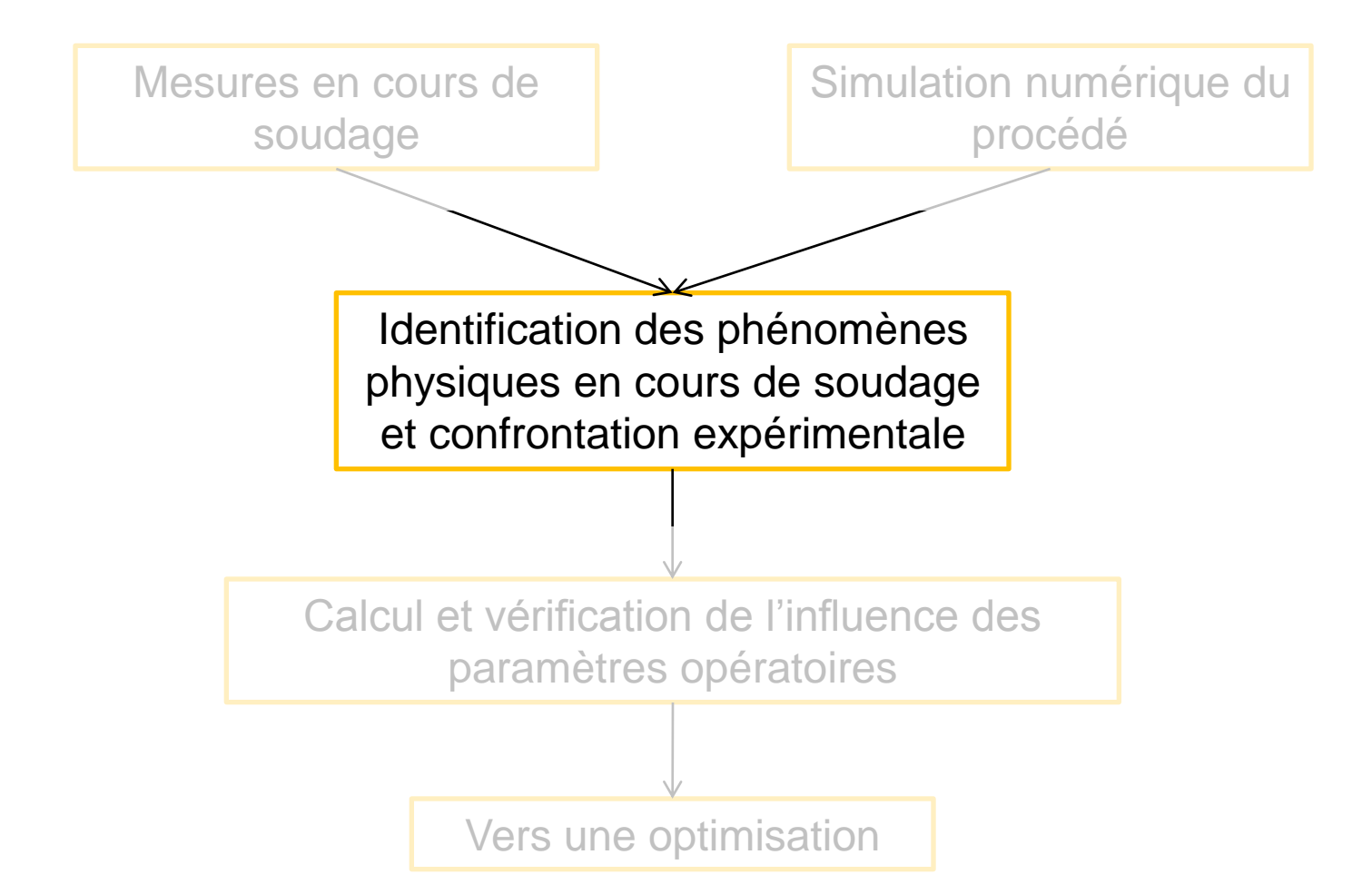
Mesures réalisées sur le point central de la plage de soudabilité

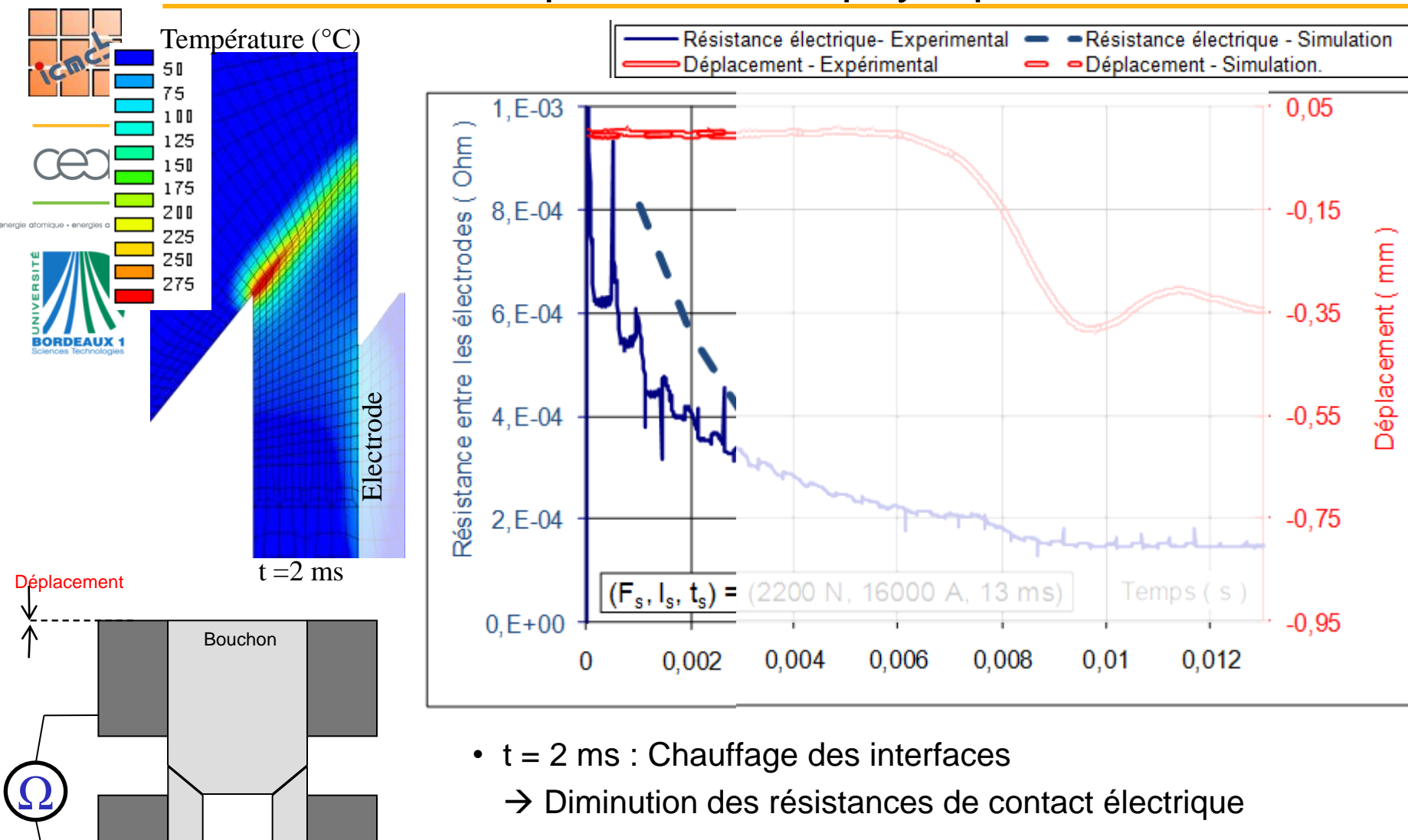
#### Plan





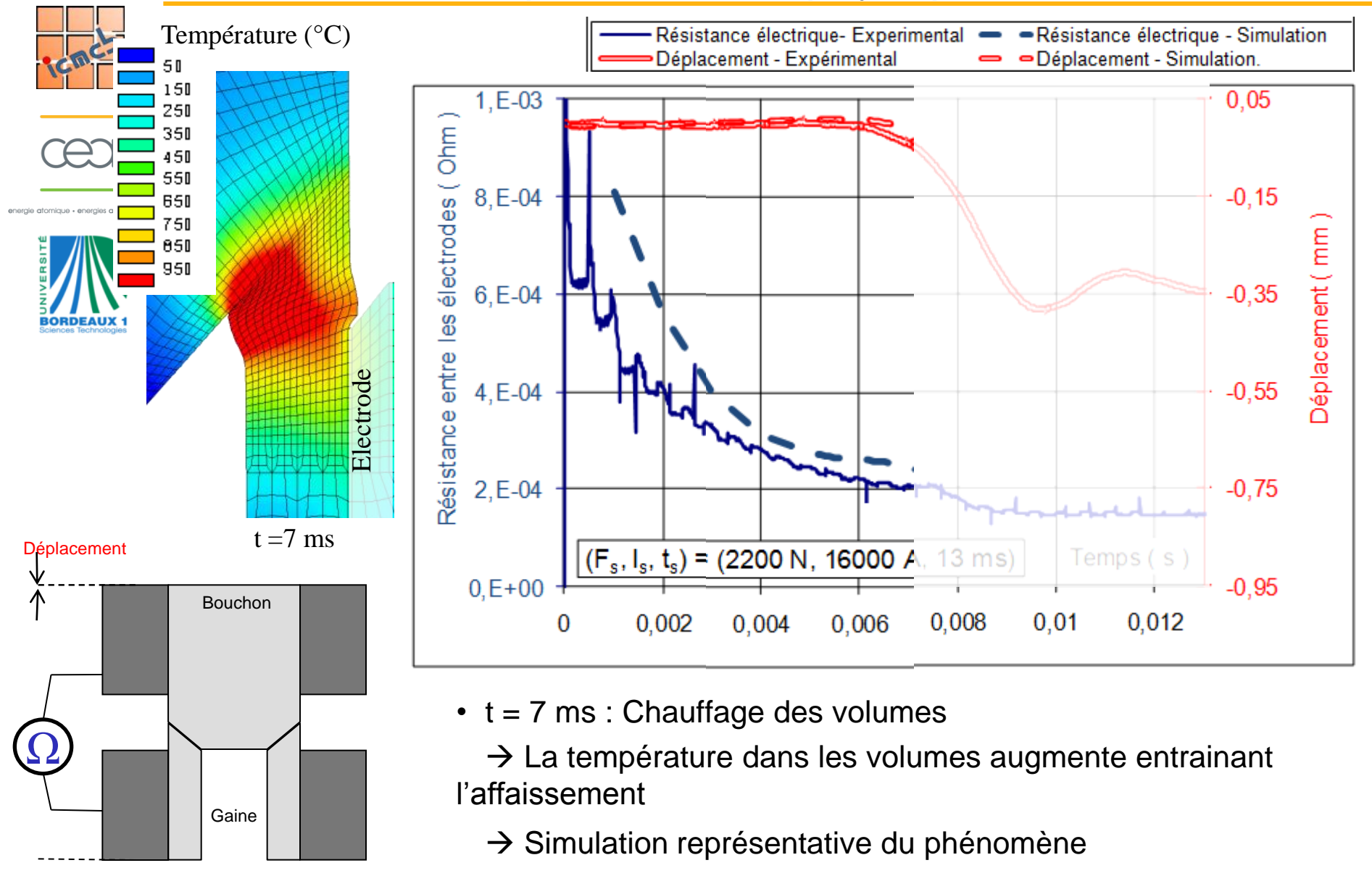


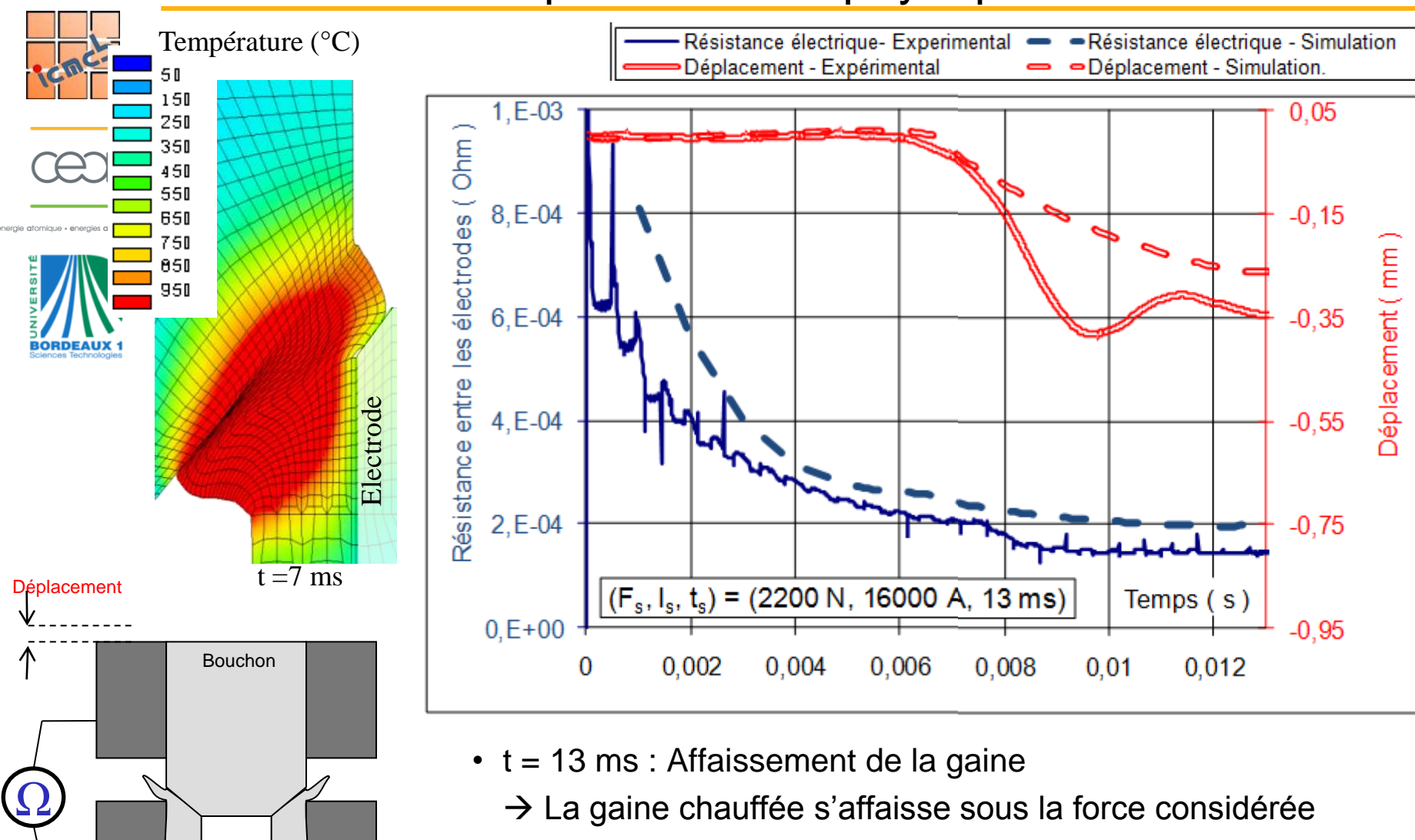




→ Simulation représentative du phénomène

Gaine





→ Simulation représentative du phénomène

Gaine

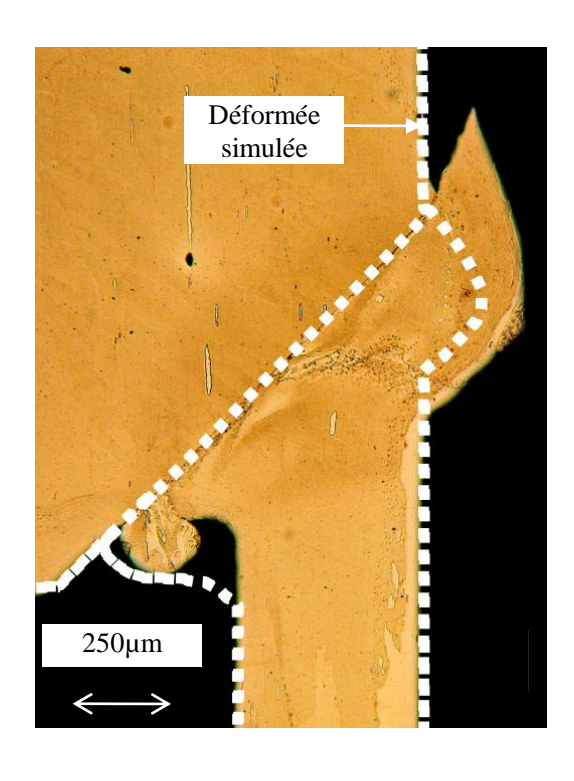




energie atomique + energies alternative



- Comparaison de la déformée finale observée après découpe de la soudure avec la déformée simulée
- La zone la plus déformée est la partie de gaine dépassant de l'électrode
  - → Simulation représentative de ce phénomène
- Différences observées sur la forme et la taille des bourrelets
- → Hypothèse : Observation d'un glissement de la gaine non pris en compte par la simulation pouvant modifier la forme de la soudure
- → Hypothèse : Propriétés mécaniques à hautes températures extrapolées à partir des données de la littérature entraînant une différence de comportement



Comparaison de la déformée simulée de la soudure avec la forme observée par microscopie optique (après attaque métallographique)

#### Conclusion partielle

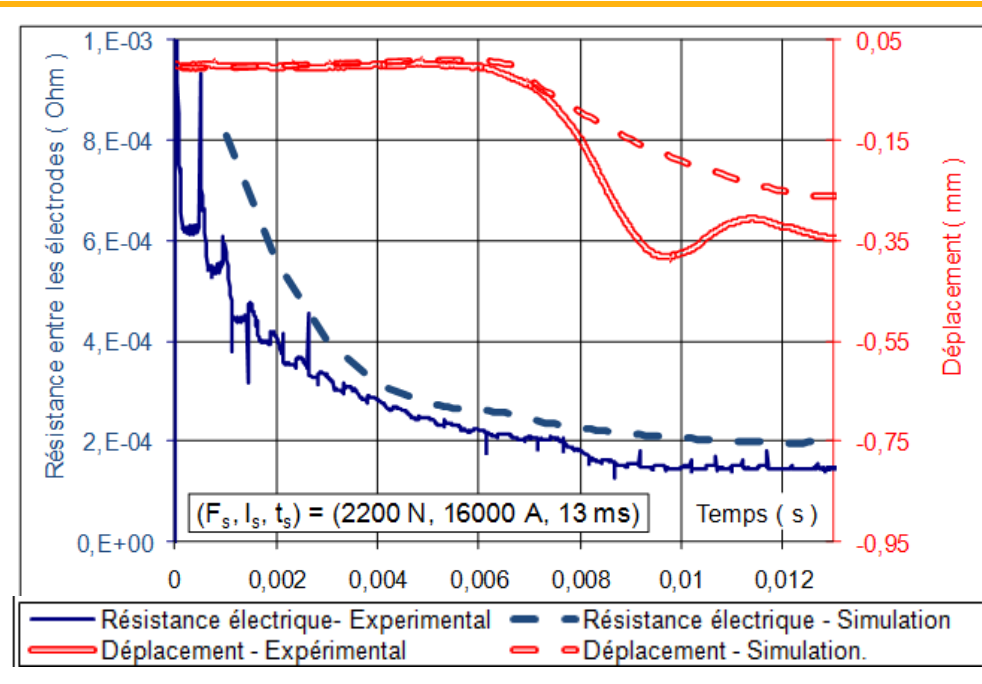


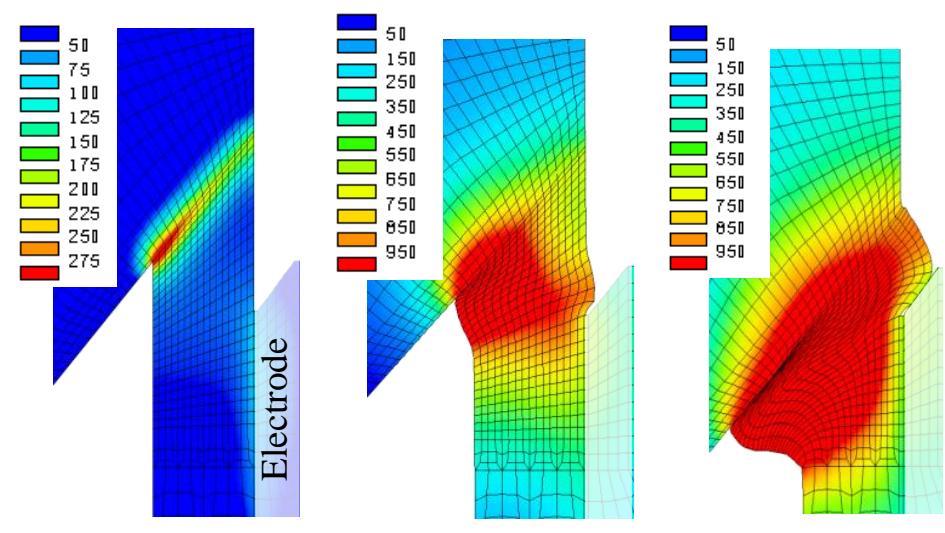






- L'étape de soudage se déroule en 3 temps :
  - · Chauffage de l'interface
  - Chauffage de la partie de gaine dépassant de l'électrode
  - · Affaissement de la gaine
- La simulation numérique est représentative de ces phénomènes thermiques et mécaniques
- Les hypothèses mécaniques réalisées limitent la capacité de la simulation dans la représentation de la déformée



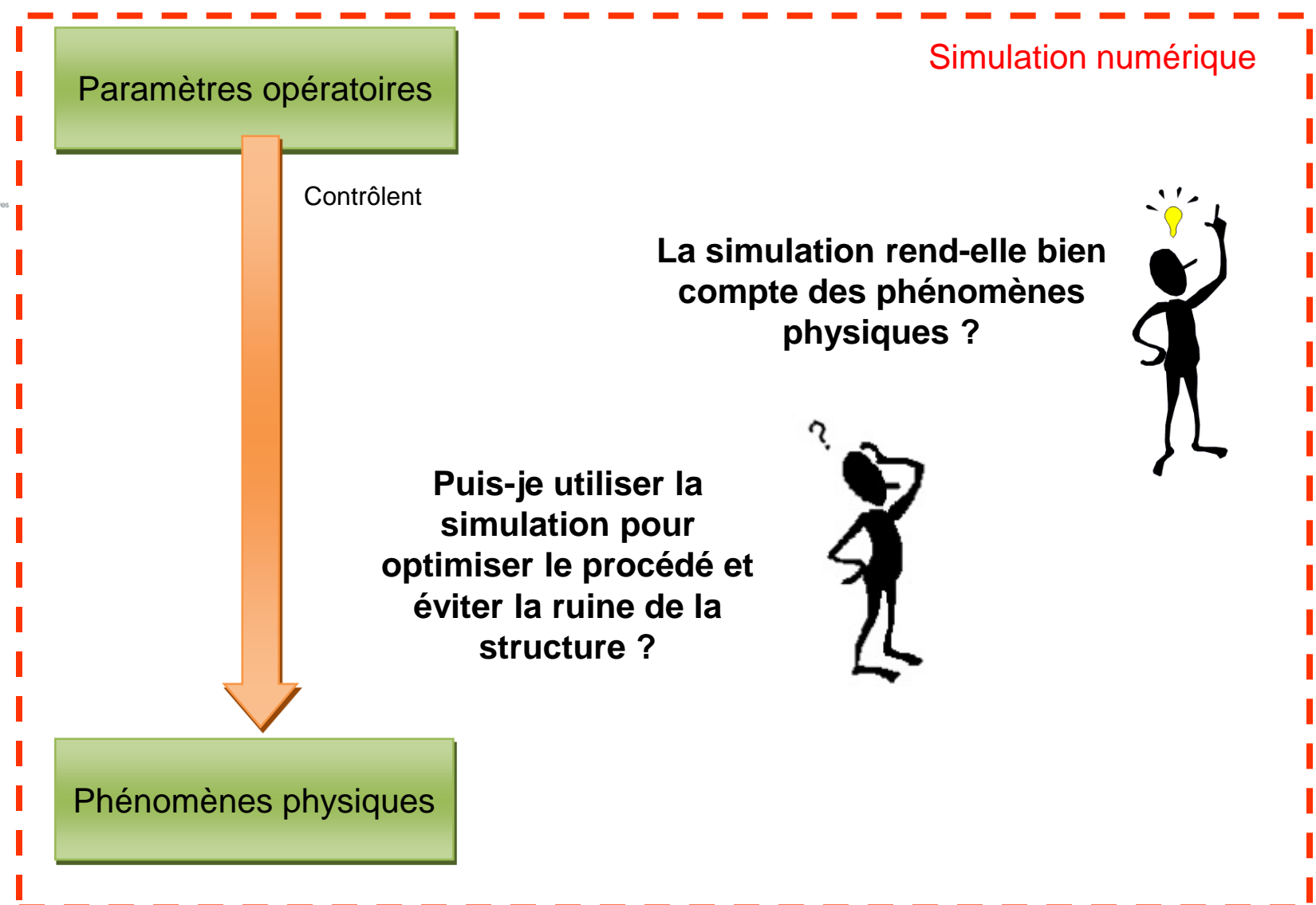










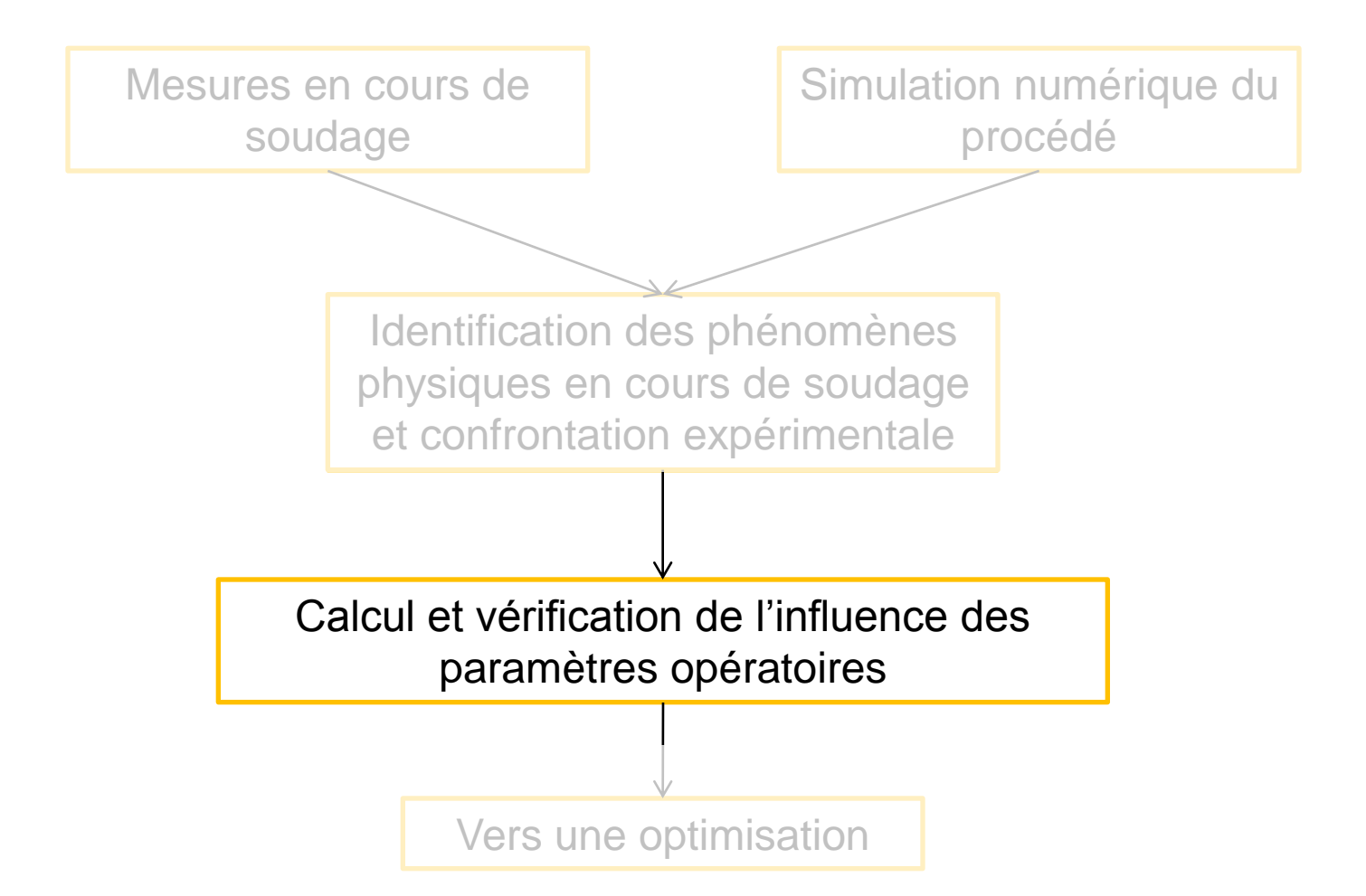


#### Plan















energie atomique • energies alternativ



| • | Méthode d | es plans | d'ex | périences | factoriels | complets |
|---|-----------|----------|------|-----------|------------|----------|
|---|-----------|----------|------|-----------|------------|----------|

- 4 facteurs (F<sub>s</sub>, I<sub>s</sub>, t<sub>s</sub> , L<sub>g</sub>) à 2 niveaux  $\,\rightarrow$  16 essais

|                | Facteur                                    | Niveau -1 | Niveau 1 |
|----------------|--|-----------|----------|
| Fs             | Force                                      | 1800 N    | 2200 N   |
| I <sub>s</sub> | Intensité du courant                       | 14 kA     | 18 kA    |
| t              | Temps de soudage                           | 10 ms     | 15 ms    |
| Lg             | Longueur de gaine dépassant de l'électrode | 0.2 mm    | 0.8 mm   |

Bornes du plan d'expériences

| Ref. | F <sub>s</sub> | I <sub>s</sub> | t <sub>s</sub> | L <sub>g</sub> |
|------|----------------|----------------|----------------|----------------|
| 1    | -1             | -1             | -1             | -1             |
| 2    | -1             | -1             | -1             | +1             |
| 3    | -1             | -1             | +1             | -1             |
| 4    | -1             | -1             | +1             | +1             |
| 5    | -1             | +1             | -1             | -1             |
|      | •••            | •••            | •••            | •••            |
| 16   | +1             | +1             | +1             | +1             |

Matrice d'essais du plan d'expériences



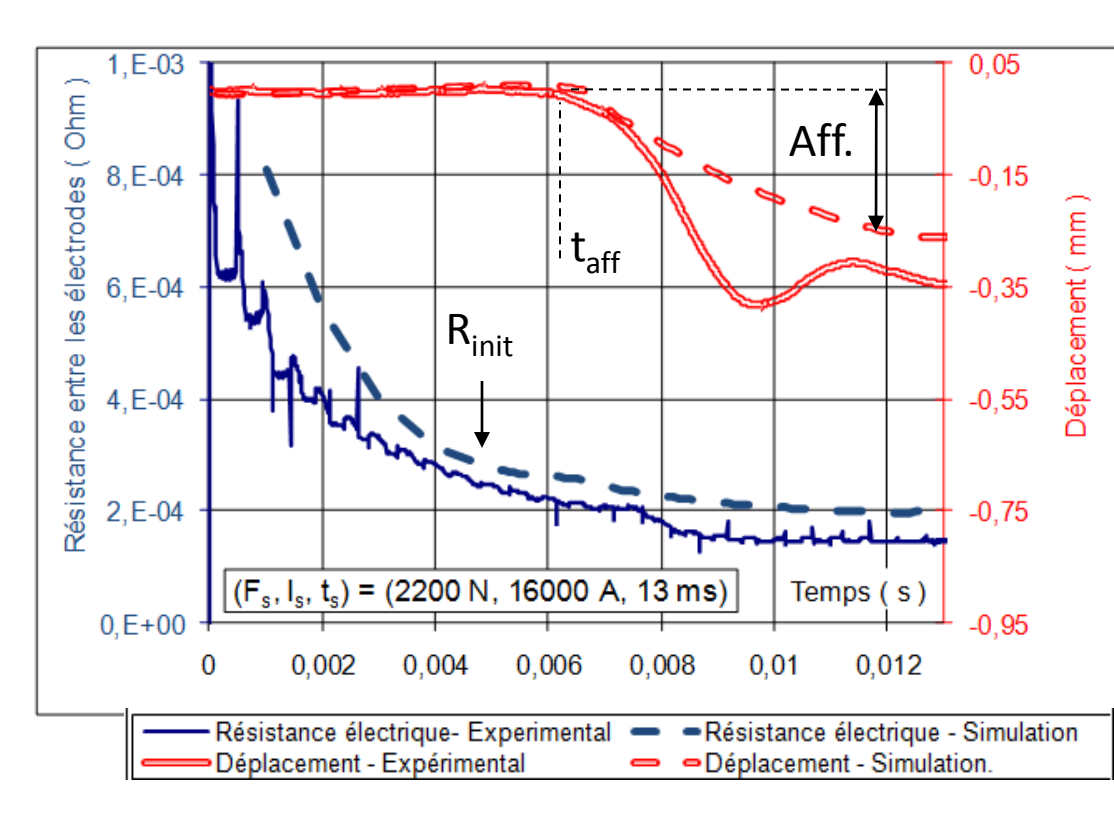








- Méthode des plans d'expériences factoriels complets
  - 3 réponses étudiées
- R<sub>init</sub>: Résistance électrique  $\dot{a} t = 5 \text{ ms}$
- → Représentative du phénomène de chauffage de l'interface
- t<sub>aff</sub>: Temps de début d'affaissement
- → Représentatif du phénomène de chauffage des volumes
- Aff: Affaissement final
- → Représentatif du phénomène de déformation de la gaine

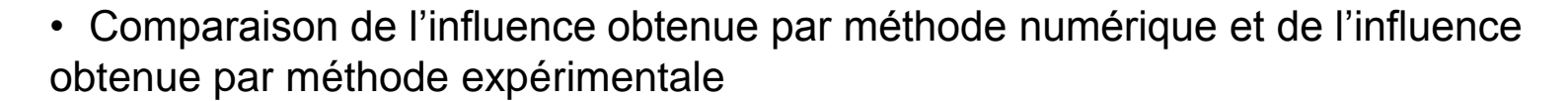




Réalisation d'un plan d'expériences numérique et d'un plan d'expériences expérimental













|                                    | Rés                      | ultats expériment                      | aux      | Résultats numériques     |                                      |          |
|------------------------------------|--------------------------|--|----------|--------------------------|--------------------------------------|----------|
| Facteurs                           | R <sub>init</sub> (µOhm) | t <sub>aff</sub> (ms)                  | Aff (µm) | R <sub>init</sub> (µOhm) | t <sub>aff</sub> (ms)                | Aff (μm) |
| Constante                          | 233                      | 7,13                                   | 379      | 236                      | 7,62                                 | 257      |
| F <sub>s</sub>                     | - 4                      | -0, <mark>0</mark> 7                   | - 20     | <mark>-</mark> 1         | -0,24                                | 24       |
| I <sub>s</sub>                     | <mark>-1</mark> 7        | -0,80                                  | 102      | - <mark>1</mark> 1       | -1,09                                | 79       |
| t                                  | - 2                      | -0,10                                  | 35       | 0                        | 0,03                                 | 68       |
| L <sub>g</sub>                     | 2 <mark>2</mark>         | -0,77                                  | 161      | 23                       | -1,09                                | 153      |
| Contribution interaction + résidus | 2 %                      | 21 % dont $I_s * L_g = \uparrow 13 \%$ | 4 %      | 0 %                      | 5 % dont $I_s^* L_g = \uparrow 4 \%$ | 4 %      |

Effet des paramètres opératoires

Rappel: Réponse = Constante + [Effet du facteur 1 \* niveau du facteur 1] + [Effet du facteur 2 \* niveau du facteur 2] + ...

Exemple:  $R_{init} = 233 - 4 \text{ niveau } (F_s) - 17 \text{ niveau} (I_s) - 2 \text{ niv} (t_s) + 22 \text{ niv} (L_a)$ 









Comparaison de l'influence obtenue par méthode numérique et de l'influence obtenue par méthode expérimentale

|                                    | Rés                      | sultats expérimenta                    | aux      | Résultats numériques     |                                      |          |  |
|------------------------------------|--------------------------|--|----------|--------------------------|--------------------------------------|----------|--|
| Facteurs                           | R <sub>init</sub> (µOhm) | t <sub>aff</sub> (ms)                  | Aff (µm) | R <sub>init</sub> (μOhm) | t <sub>aff</sub> (ms)                | Aff (µm) |  |
| Constante                          | 233                      | 7,13                                   | 379      | 236                      | 7,62                                 | 257      |  |
| F <sub>s</sub>                     | - 4                      | -0,07                                  | - 20     | - 1                      | -0,24                                | 24       |  |
| I <sub>s</sub>                     | -17                      | -0,80                                  | 102      | <b>-</b> 11              | -1,09                                | 79       |  |
| t                                  | - 2                      | -0,10                                  | 35       | 0                        | 0,03                                 | 68       |  |
| $L_g$                              | 22                       | -0,77                                  | 161      | 23                       | -1,09                                | 153      |  |
| Contribution interaction + résidus | 2 %                      | 21 % dont $I_s^* L_g = \uparrow 13 \%$ | 4 %      | 0 %                      | 5 % dont $I_s^* L_g = \uparrow 4 \%$ | 4 %      |  |

Chauffage des interfaces représenté par R<sub>init</sub>

Bonne représentation de la valeur moyenne

Bonne représentation de l'influence des paramètres opératoires

obtenue par méthode expérimentale











| alternatives       | Facteurs       | R <sub>init</sub> (μOhm) | t <sub>aff</sub> (ms) | Aff (µm) | R <sub>init</sub> (μOhm) | t <sub>aff</sub> (ms) |
|--------------------|----------------|--------------------------|-----------------------|----------|--------------------------|-----------------------|
|                    | Constante      | 233                      | 7,13                  | 379      | 236                      | 7,62                  |
| <b>【 1</b><br>gies | F <sub>s</sub> | - 4                      | -0,07                 | - 20     | - 1                      | -0,24                 |
|                    | I <sub>s</sub> | -17                      | -0,80                 | 102      | -11                      | -1,09                 |
|                    |                |                          |                       |          |                          |                       |

Résultats expérimentaux

Comparaison de l'influence obtenue par méthode numérique et de l'influence

4 %

 Chauffage des volumes représenté par t<sub>aff</sub> Bonne représentation de la valeur moyenne Bonne représentation de l'influence des paramètres opératoires

21 % dont

\* L<sub>a</sub> = ↑ 13 %

Contribution

interaction +

résidus

Résultats numériques

0,03

-1,09

5 % dont

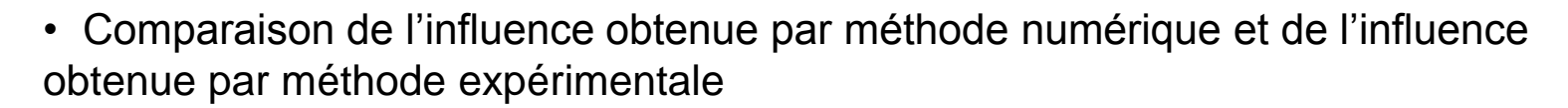
 $I_s^* L_q = \uparrow 4 \%$ 

Aff (µm)

153

4 %









|                                    | Résultats expérimentaux  |  |          | Résultats numériques     |                                      |          |
|------------------------------------|--------------------------|--|----------|--------------------------|--------------------------------------|----------|
| Facteurs                           | R <sub>init</sub> (μOhm) | t <sub>aff</sub> (ms)                  | Aff (µm) | R <sub>init</sub> (µOhm) | t <sub>aff</sub> (ms)                | Aff (µm) |
| Constante                          | 233                      | 7,13                                   | 379      | 236                      | 7,62                                 | 257      |
| F <sub>s</sub>                     | - 4                      | -0,07                                  | - 20     | - 1                      | -0,24                                | 24       |
| I <sub>s</sub>                     | -17                      | -0,80                                  | 102      | -11                      | -1,09                                | 79       |
| t                                  | - 2                      | -0,10                                  | 35       | 0                        | 0,03                                 | 68       |
| $L_g$                              | 22                       | -0,77                                  | 161      | 23                       | -1,09                                | 153      |
| Contribution interaction + résidus | 2 %                      | 21 % dont $I_s * L_g = \uparrow 13 \%$ | 4 %      | 0 %                      | 5 % dont $I_s * L_g = \uparrow 4 \%$ | 4 %      |

• Déformation représentée par Aff

Sous estimation de l'affaissement par la simulation Représentation correcte de l'influence des paramètres opératoires

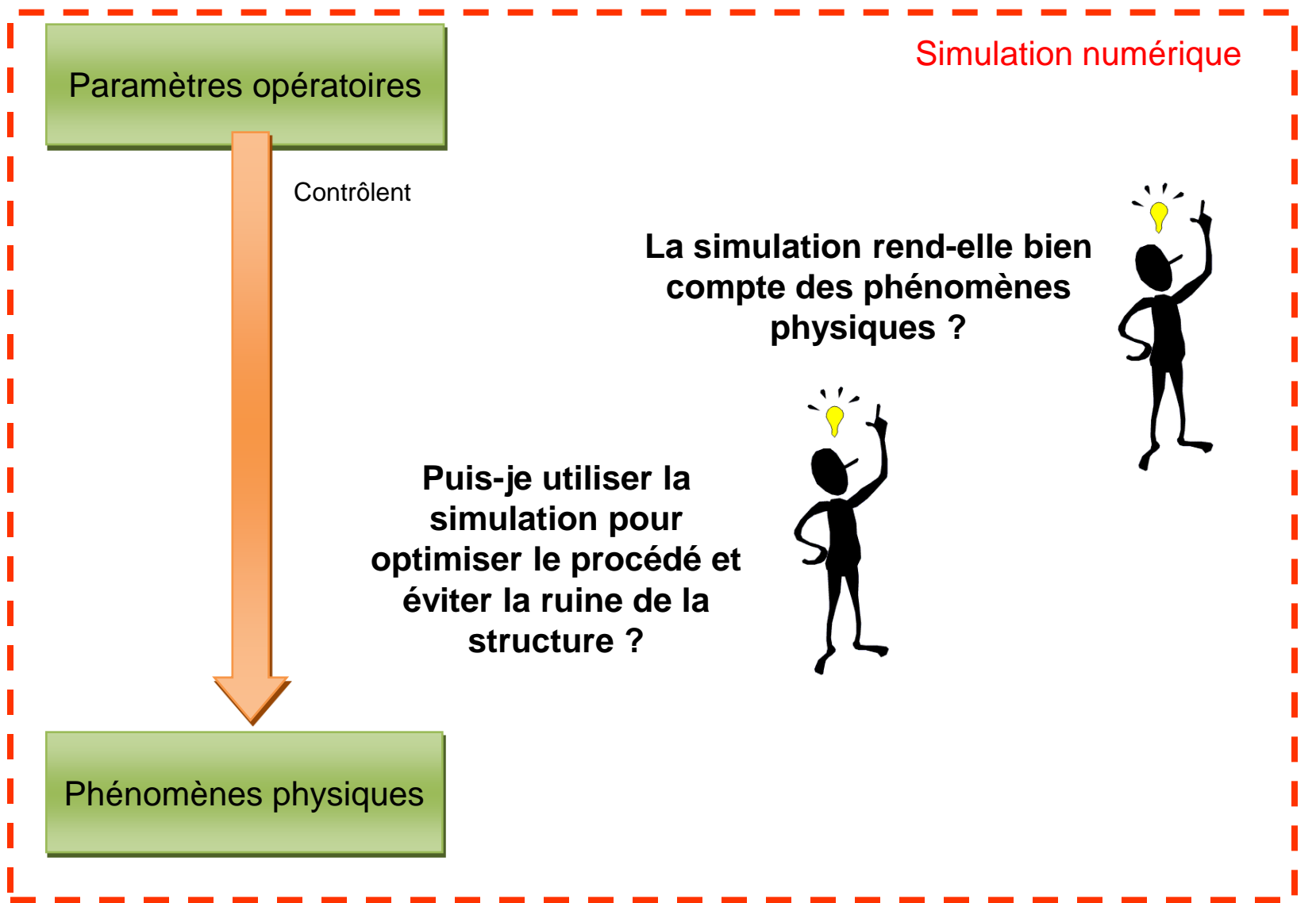


La simulation représente les effets des paramètres opératoires sur l'ensemble de la plage de soudabilité







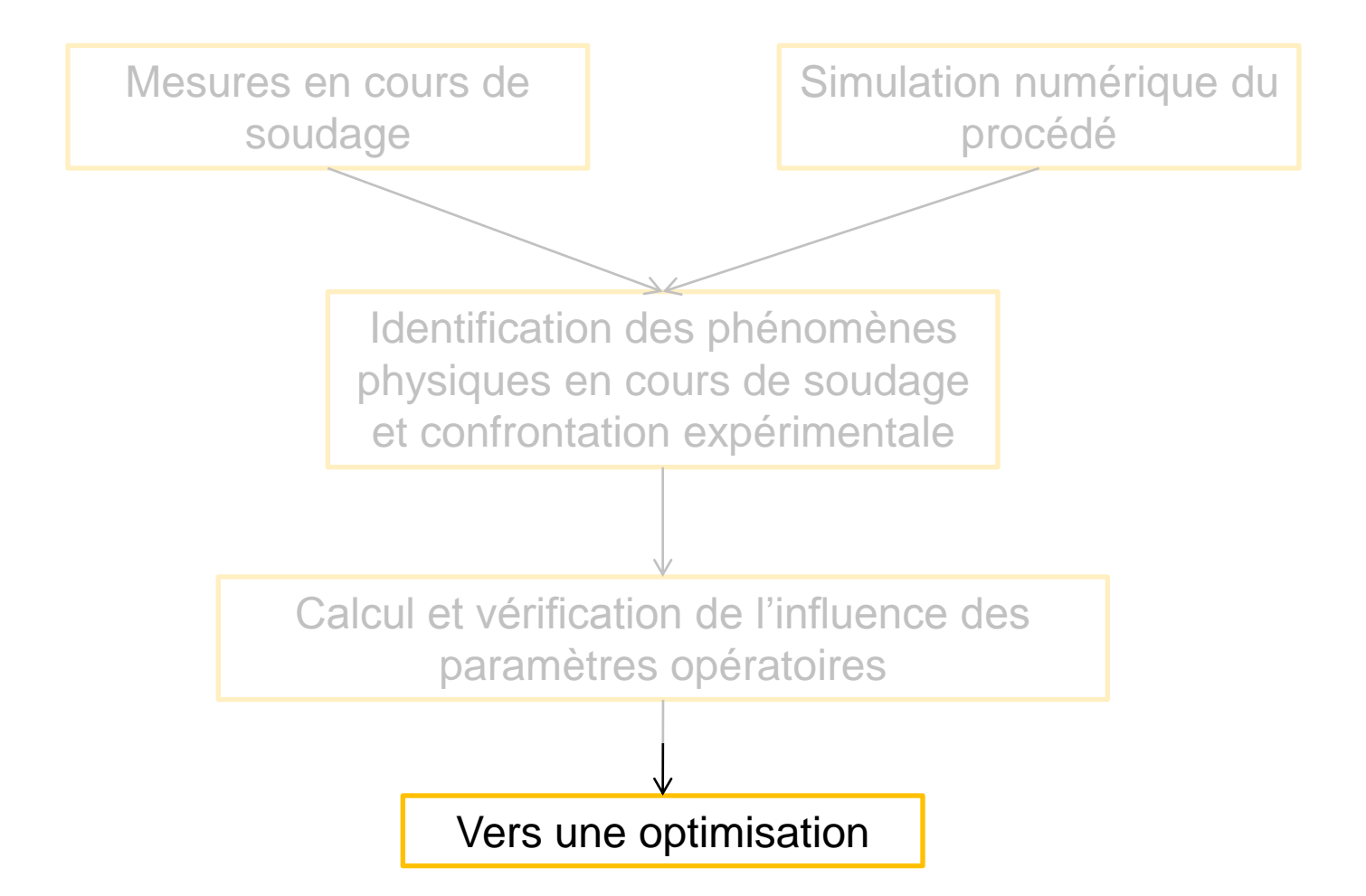


#### Plan

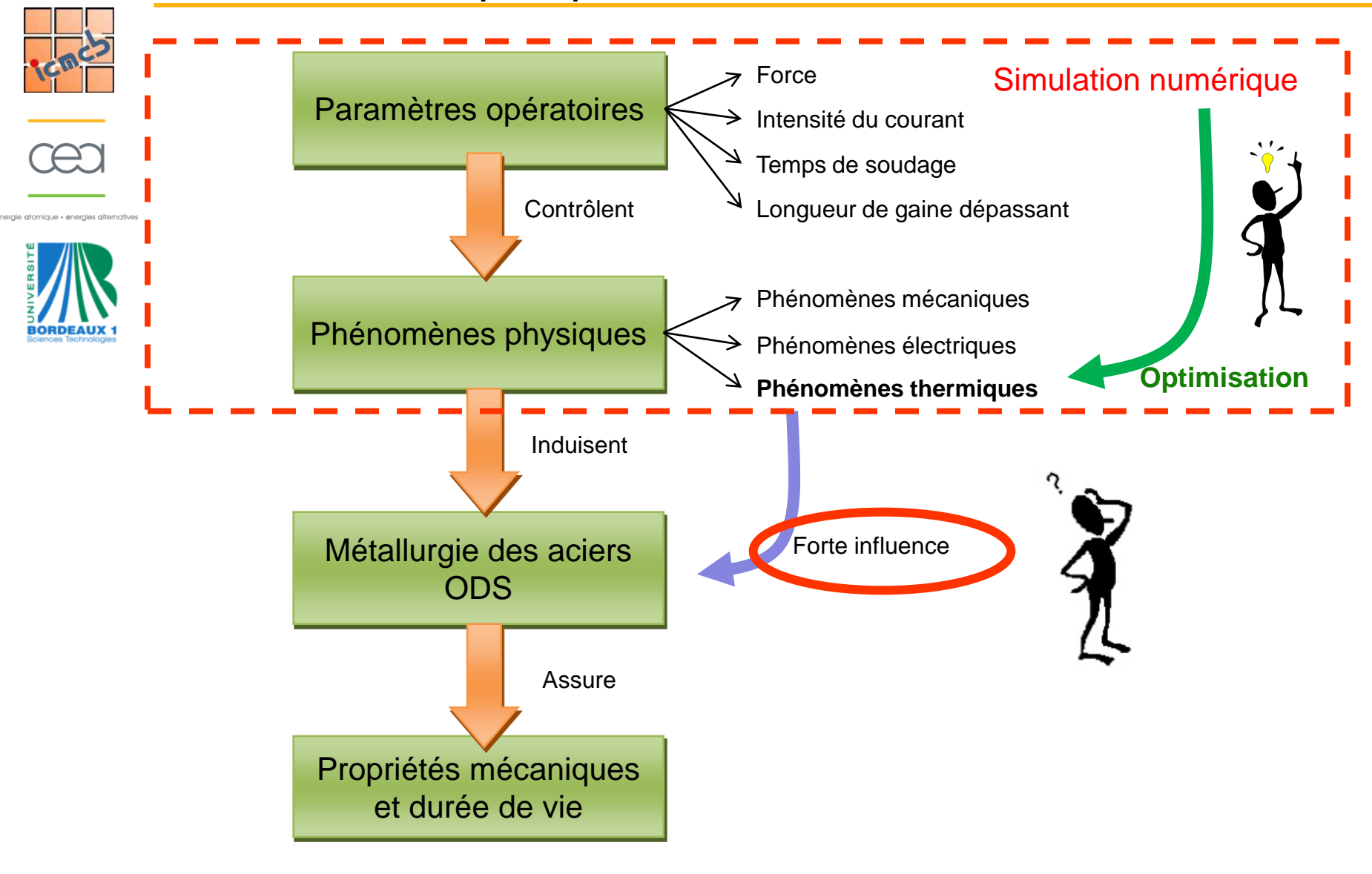








#### Conclusions et perspectives

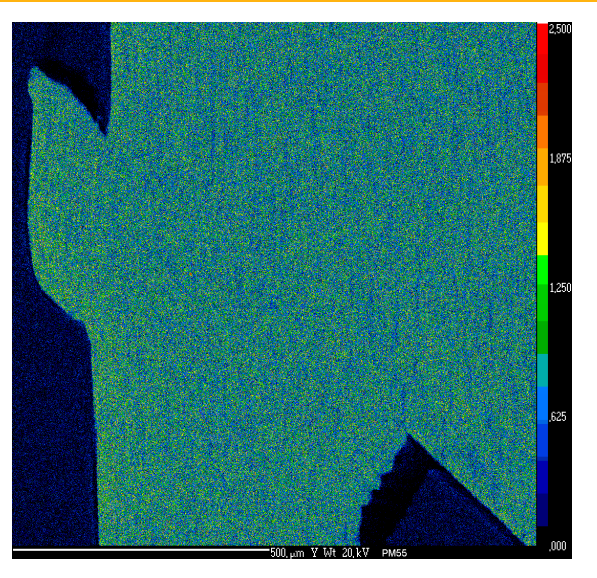


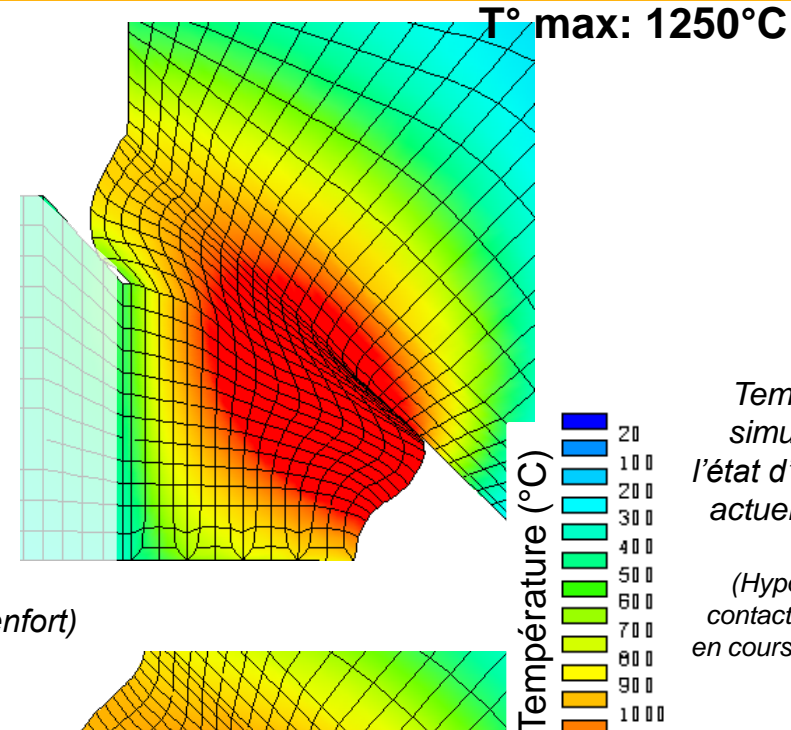
#### Quels critères pour optimiser?







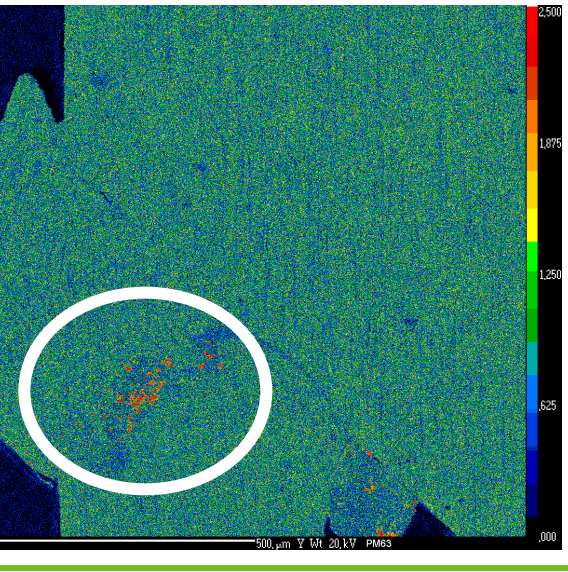


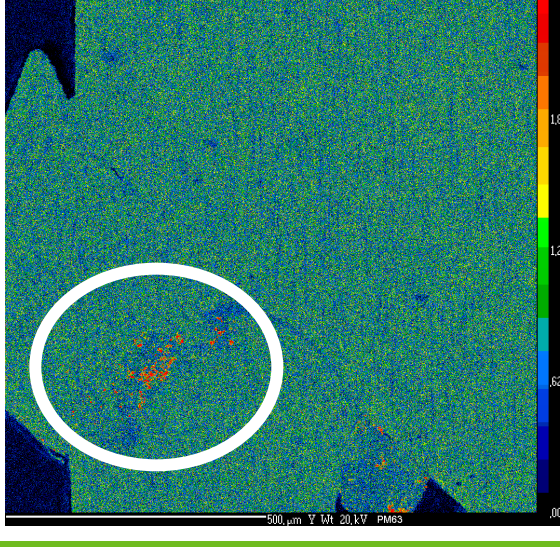


**Températures** simulées dans l'état d'avancement actuel du modèle

(Hypothèses des contacts mécaniques en cours de discussion)

Cartographie de la dispersion d'Yttrium (renfort)

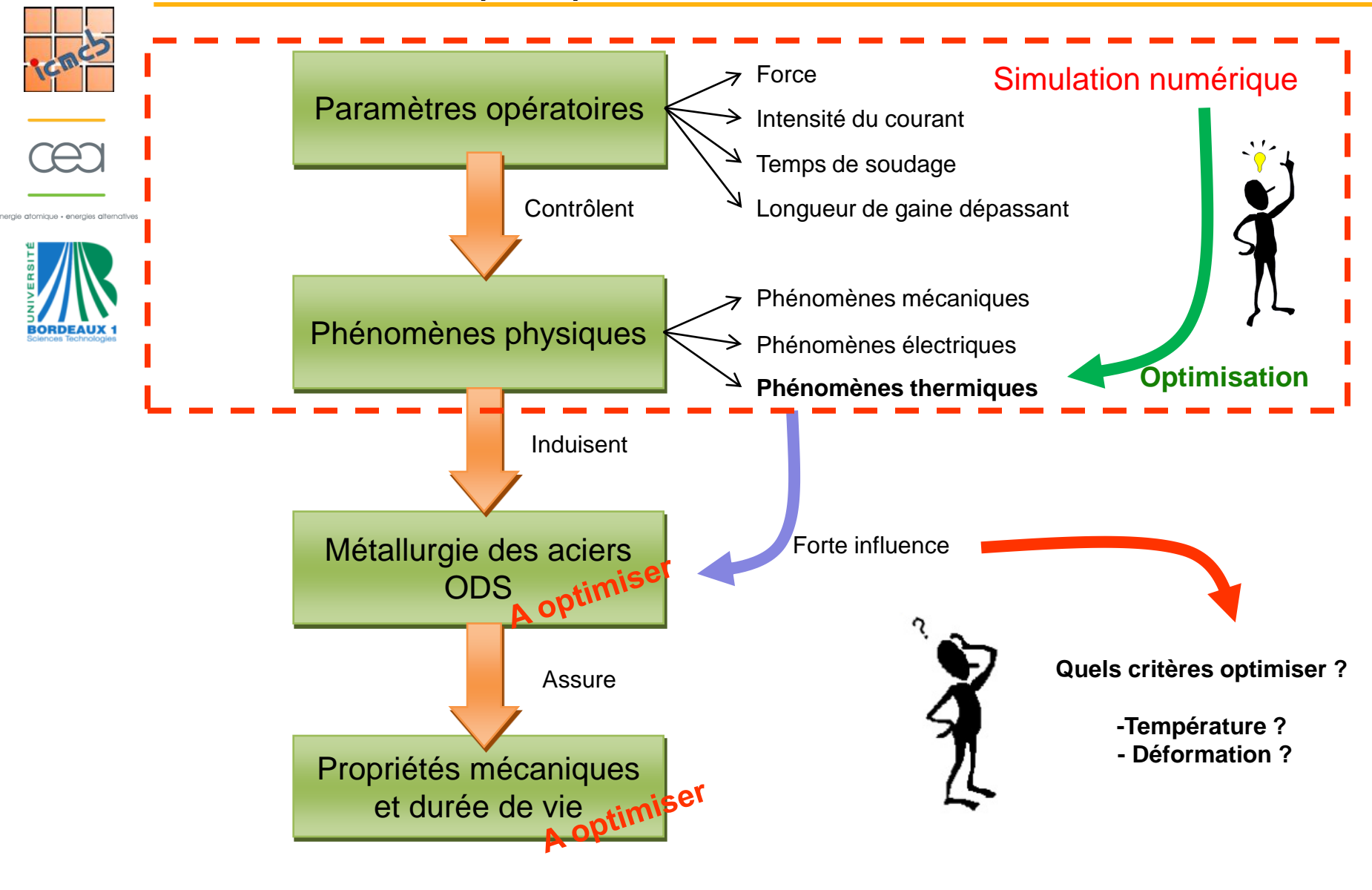






T° max: 1350°C

#### Conclusions et perspectives







energie atomique - energies alternatives



# Merci de votre attention

Fabien CORPACE 3ème année de doctorat fabien.corpace@gmail.com